

Convexité dans le plan discret. Application à la tomographie

Alain Daurat

11 décembre 2000

Plan de l'exposé

Tomographie discrète

Plan de l'exposé

Tomographie discrète

Résultats déjà connus

Reconstruction des
polyominos HV-convexes

Unicité des totalement convexes

Plan de l'exposé

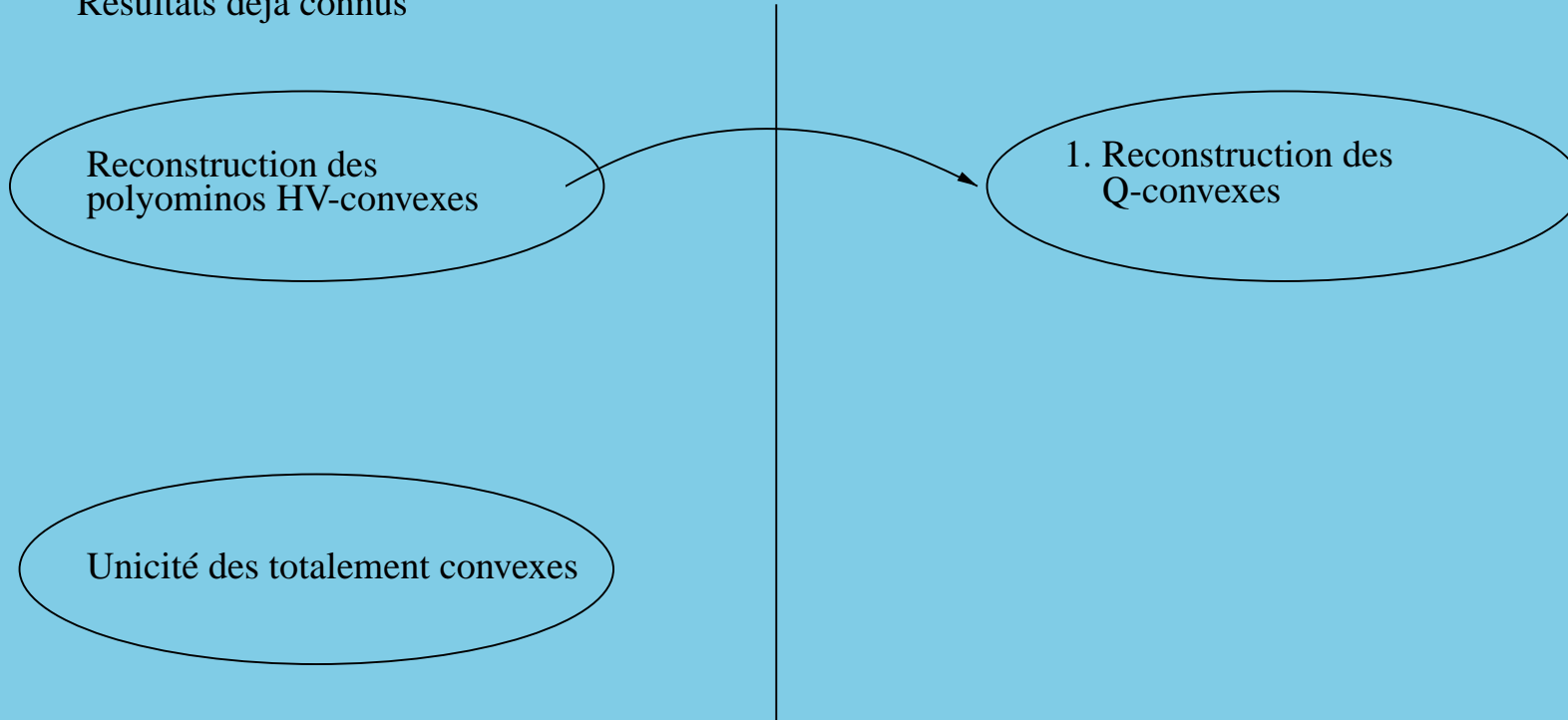
Tomographie discrète

Résultats déjà connus

Reconstruction des
polyominos HV-convexes

Unicité des totalement convexes

1. Reconstruction des
Q-convexes



Plan de l'exposé

Tomographie discrète

Résultats déjà connus

Reconstruction des
polyominos HV-convexes

Unicité des totalement convexes

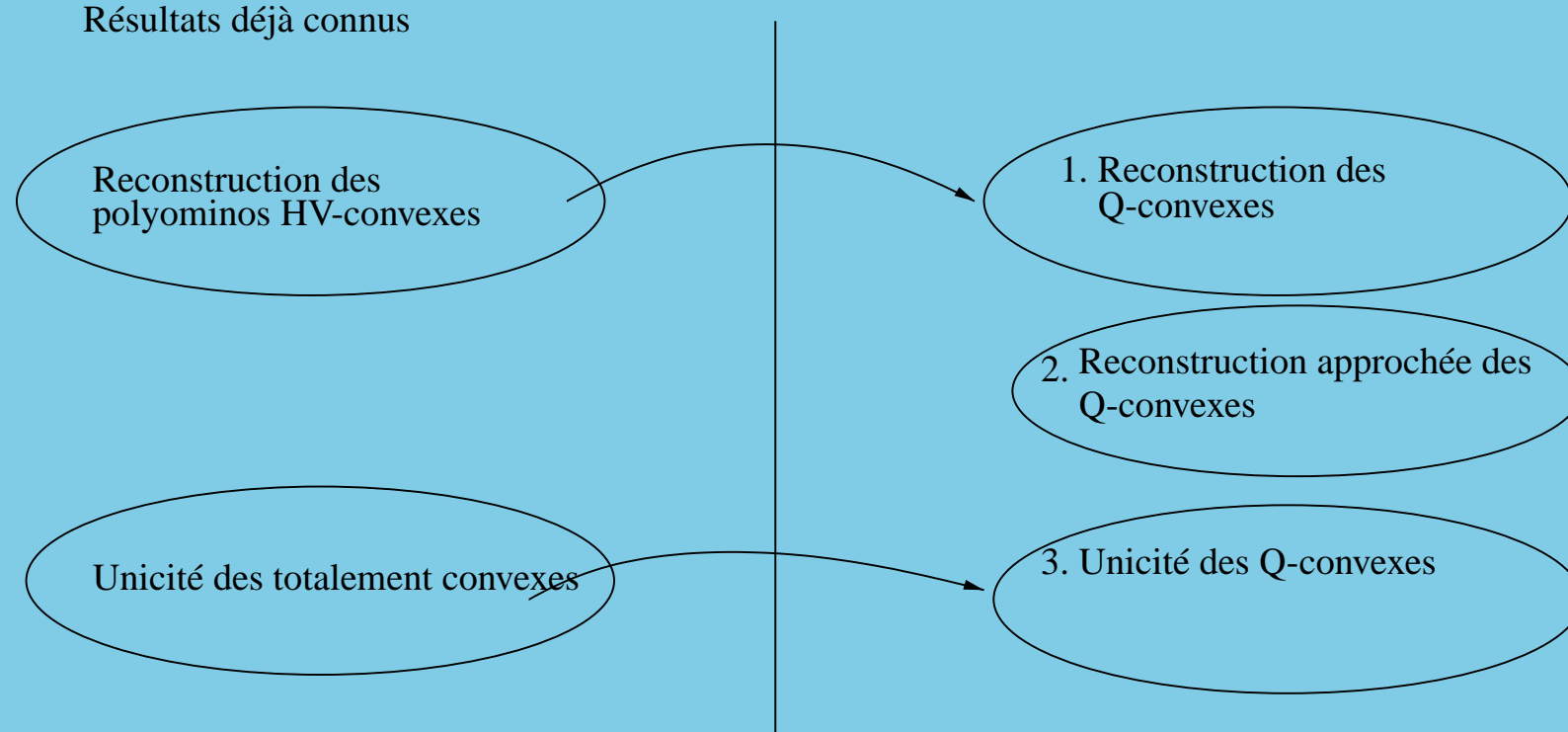
1. Reconstruction des
Q-convexes

2. Reconstruction approchée des
Q-convexes



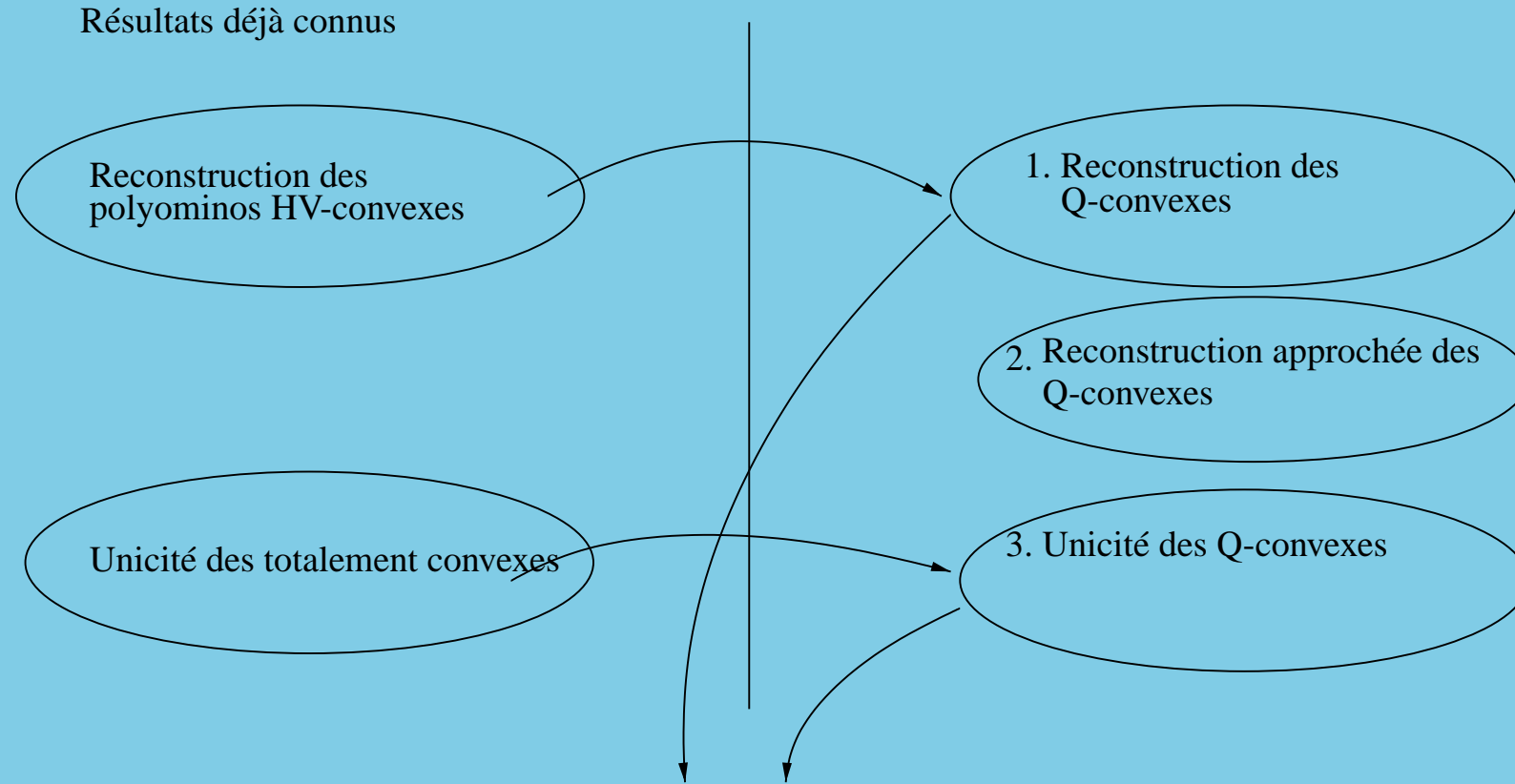
Plan de l'exposé

Tomographie discrète



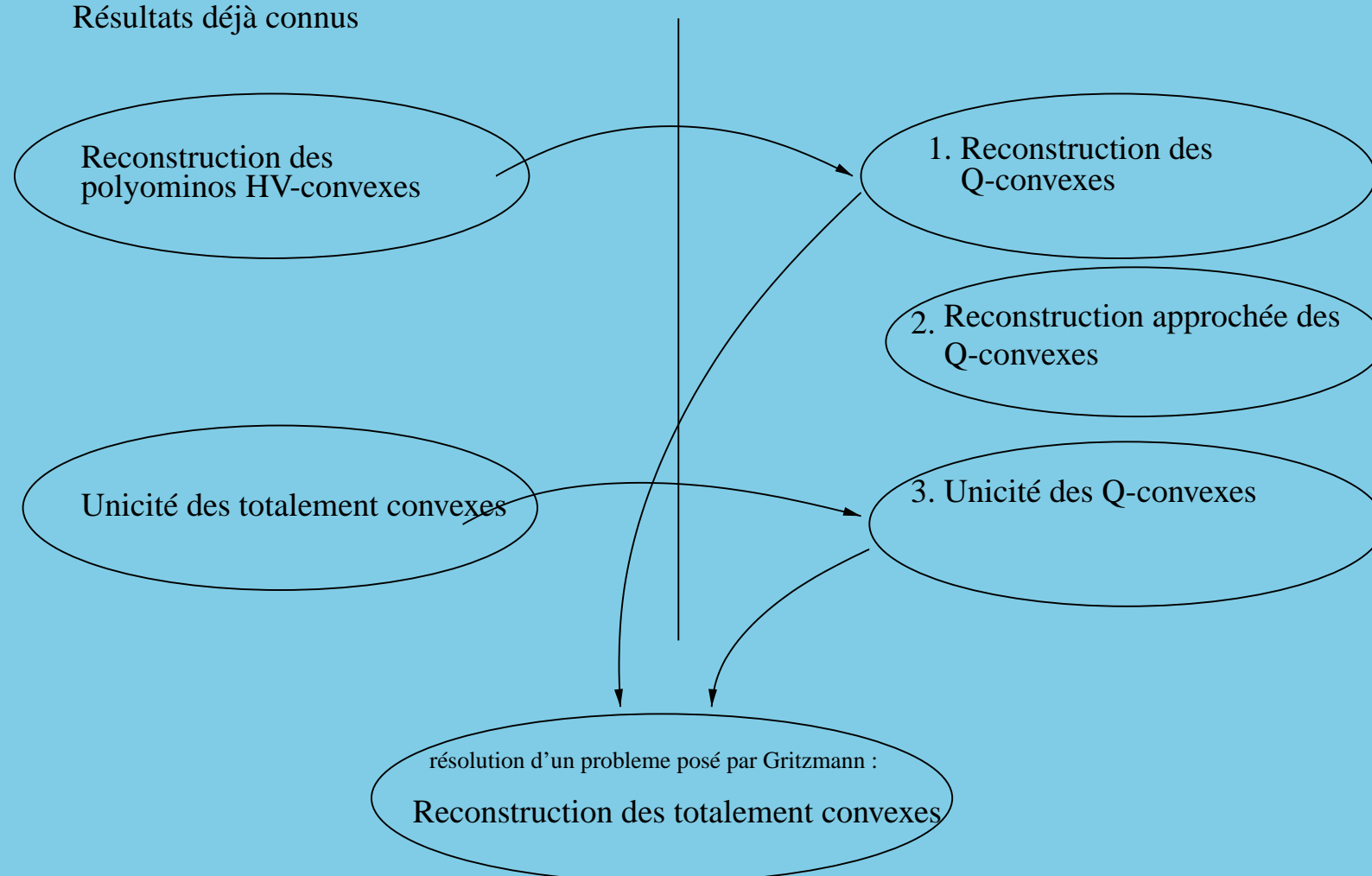
Plan de l'exposé

Tomographie discrète



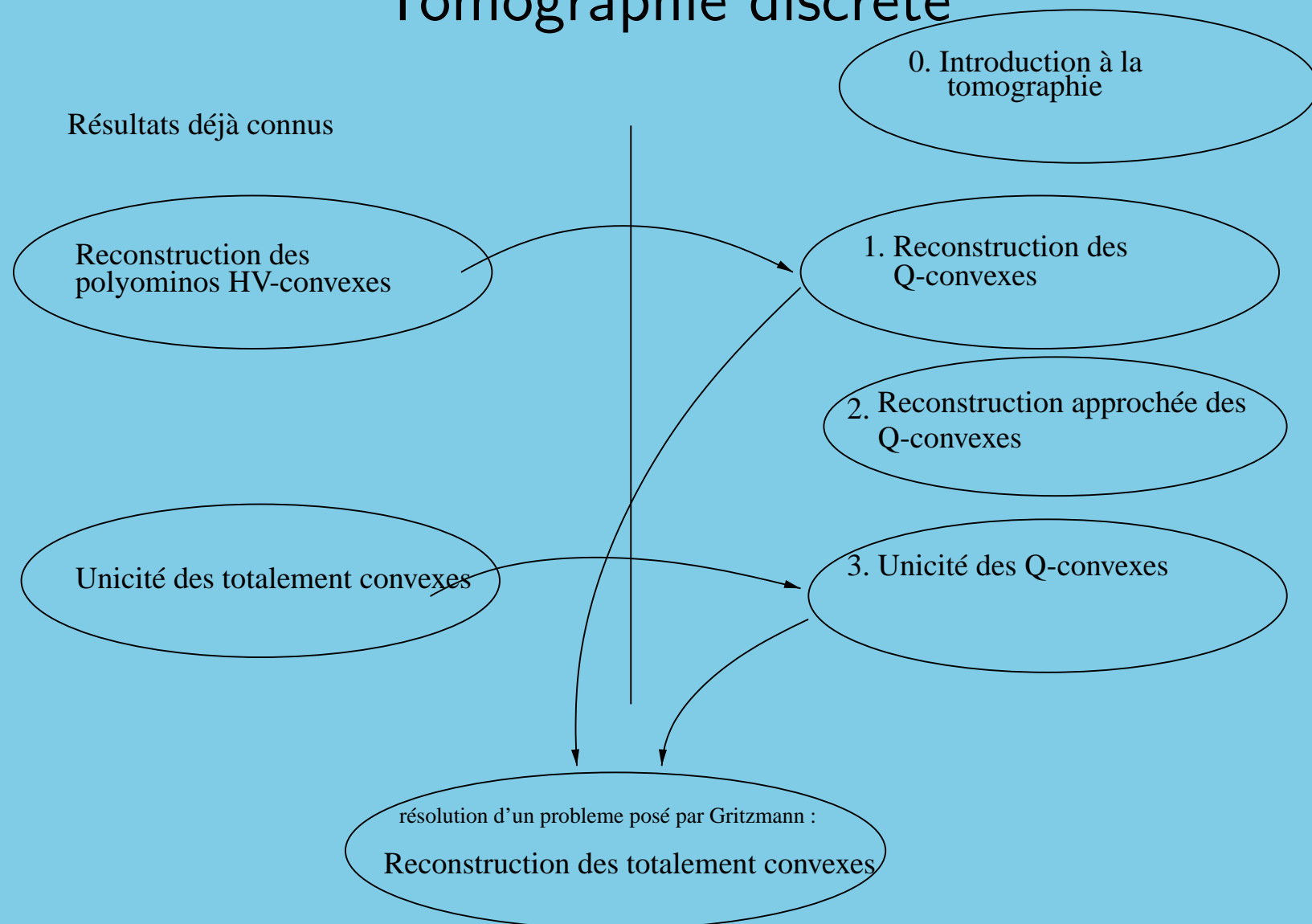
Plan de l'exposé

Tomographie discrète



Plan de l'exposé

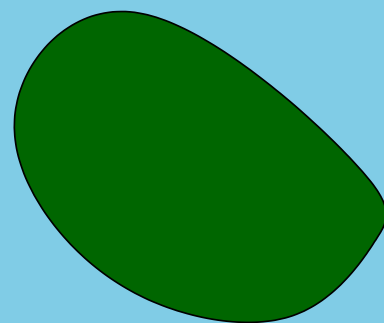
Tomographie discrète



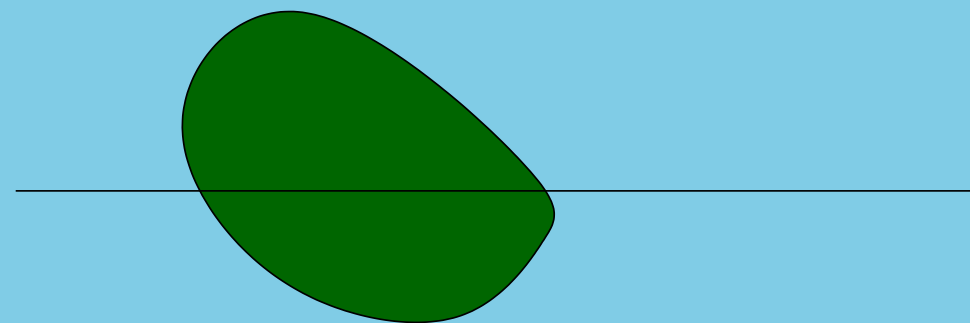
0. Introduction à la tomographie

Tomographie géométrique

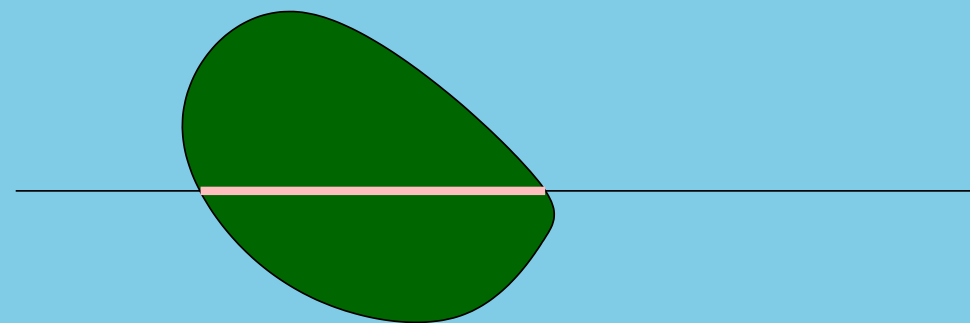
Tomographie géométrique

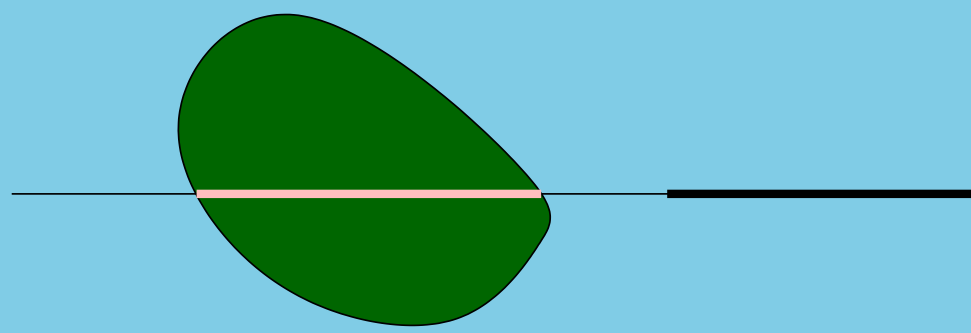


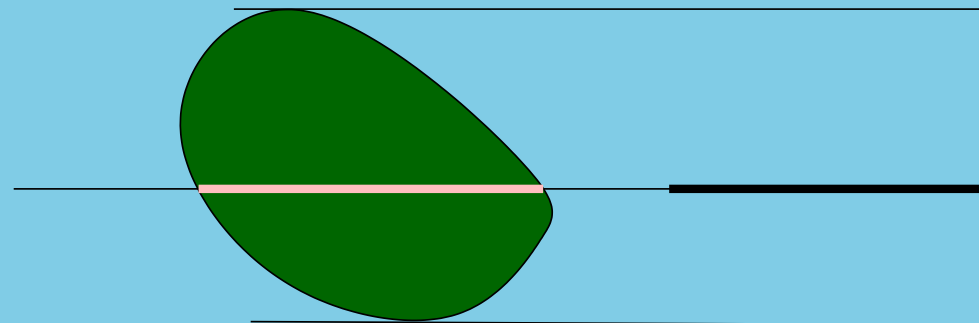
Tomographie géométrique

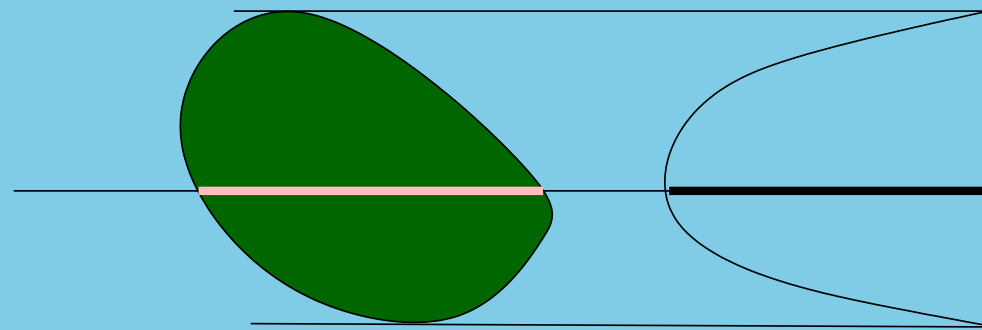


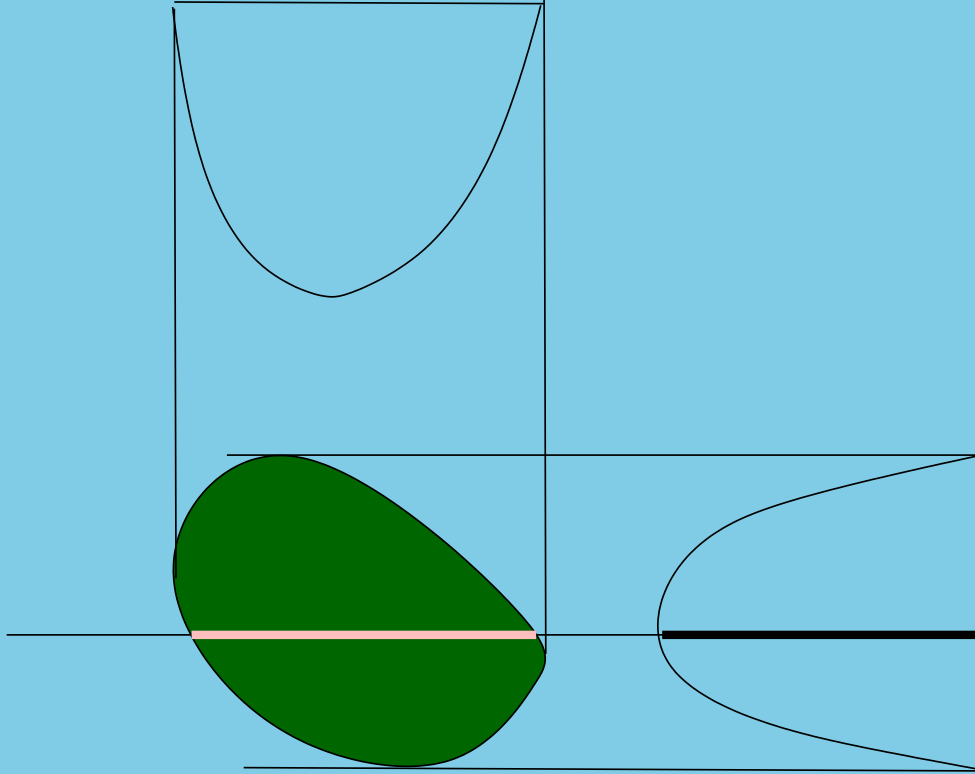
Tomographie géométrique

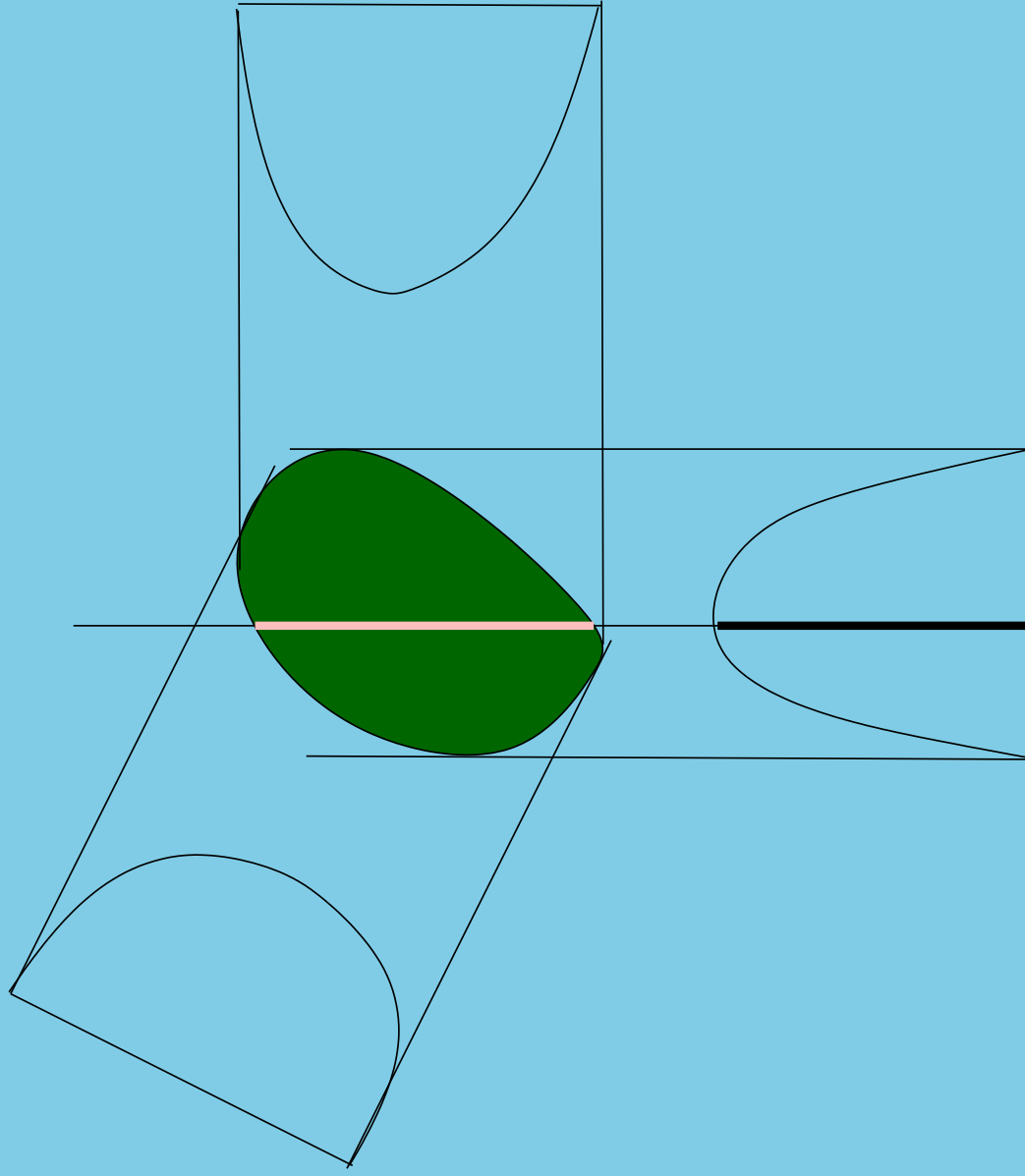




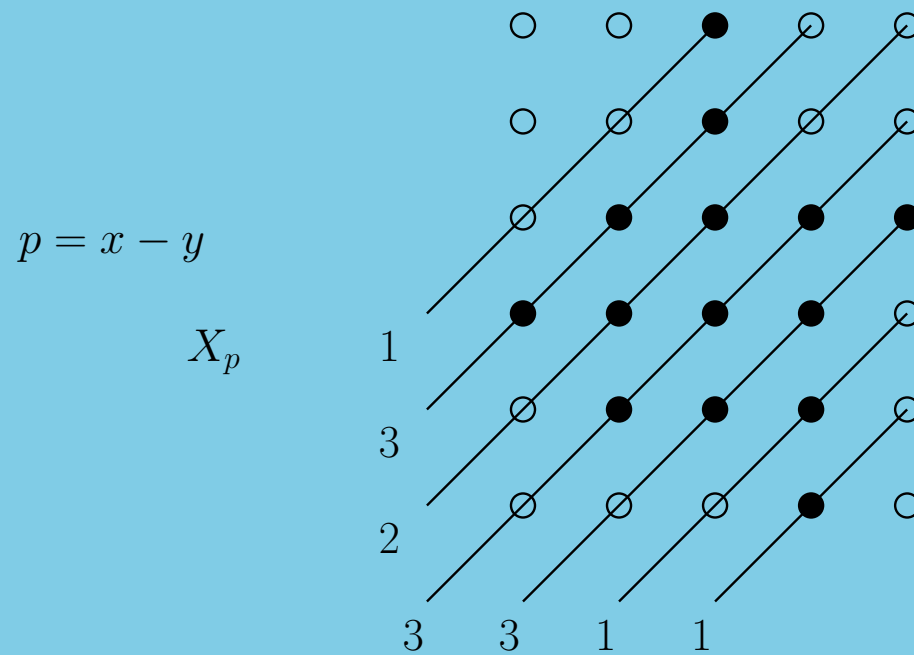






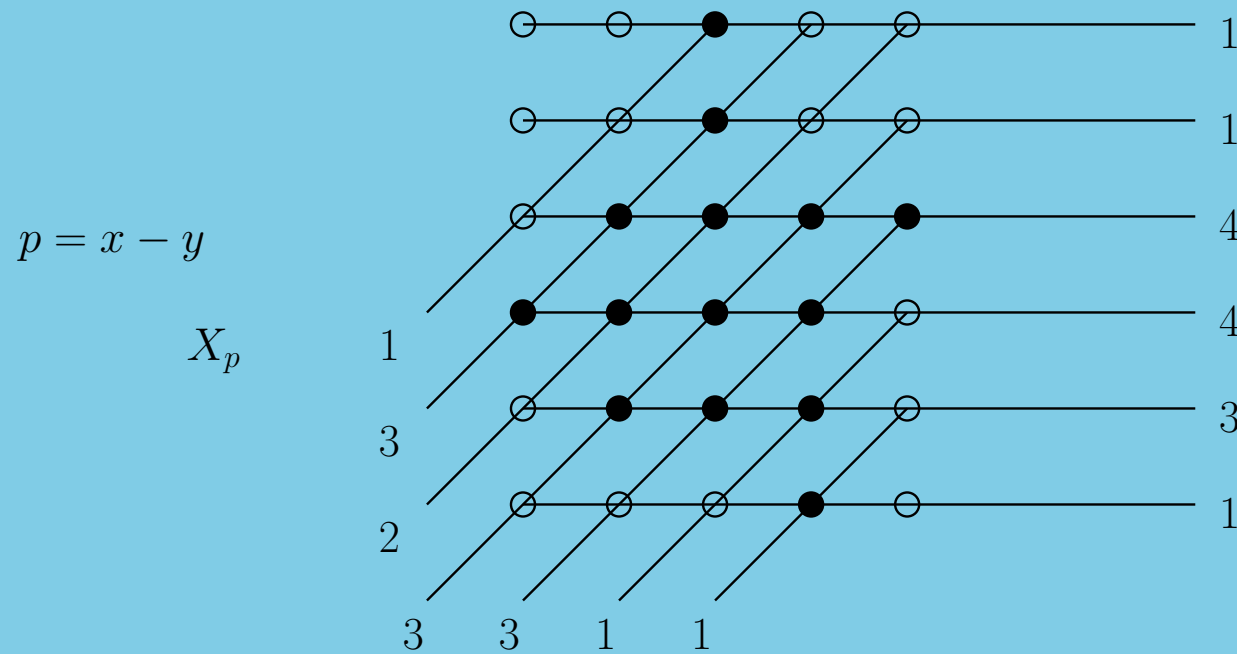


Tomographie discrète



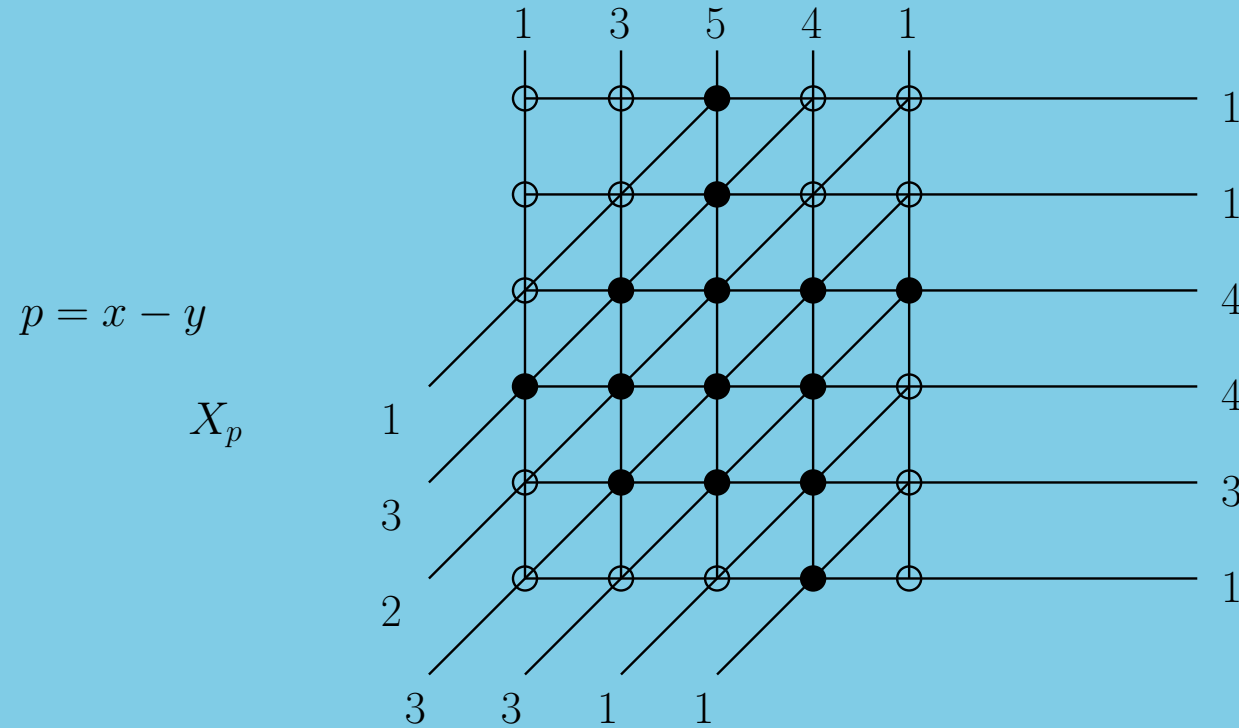
$$X_p E(i) = |\{M \in E : p(M) = i\}|.$$

Tomographie discrète



$$X_p E(i) = |\{M \in E : p(M) = i\}|.$$

Tomographie discrète



$$X_p E(i) = |\{M \in E : p(M) = i\}|.$$

Reconstruction

On se fixe un ensemble \mathcal{D} de directions

RECONSTRUCTION(\mathcal{D})

Donnée: $|\mathcal{D}|$ vecteurs $(p_i)_{i \in \mathbb{Z}}$ pour $p \in \mathcal{D}$.

Sortie: Une partie $E \subset \mathbb{Z}^2$, si elle existe, dont les projections vérifient

$$\forall p \in \mathcal{D} \forall i \in \mathbb{Z} X_p E(i) = p_i.$$

- Si $|\mathcal{D}| = 2$ alors RECONSTRUCTION(\mathcal{D}) peut être résolu en temps polynomial. (Gale, Ryser 1957).
- Si $|\mathcal{D}| \geq 3$ alors le problème existentiel associé à RECONSTRUCTI est NP-complet (GGP97).

Reconstruction avec hypothèses géométriques

On se fixe un ensemble \mathcal{D} de directions et une classe \mathcal{F} contenue dans les parties de \mathbb{Z}^2 .

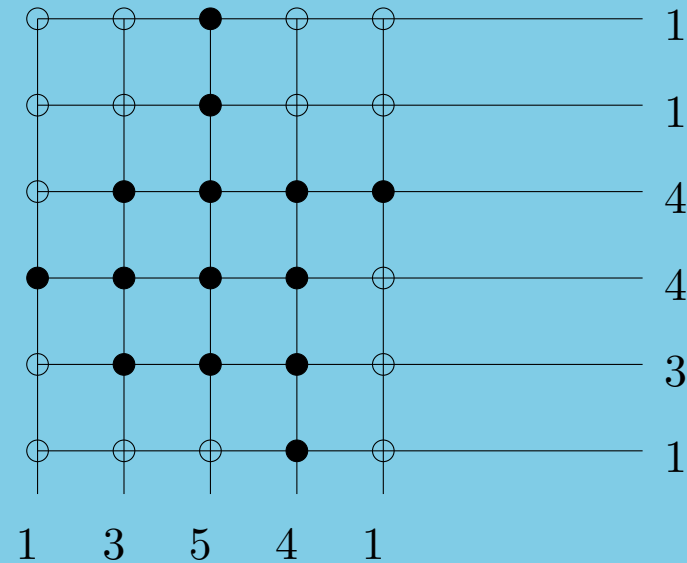
RECONSTRUCTION(\mathcal{F}, \mathcal{D})

Donnée: $|\mathcal{D}|$ vecteurs $(p_i)_{i \in \mathbb{Z}}$ pour $p \in \mathcal{D}$.

Sortie: Un ensemble $E \in \mathcal{F}$, si il existe, dont les projections vérifient

$$\forall p \in \mathcal{D} \forall i \in \mathbb{Z} X_p E(i) = p_i.$$

Reconstruction des polyominos HV-convexes



Si

- $\mathcal{D} = \{x,y\}$ (directions horizontales et verticales.)
- \mathcal{F} est la classe des polyominos HV-convexes.

alors RECONSTRUCTION(\mathcal{F}, \mathcal{D}) peut être résolu en temps polynomial ([BDLNP96]).

Si

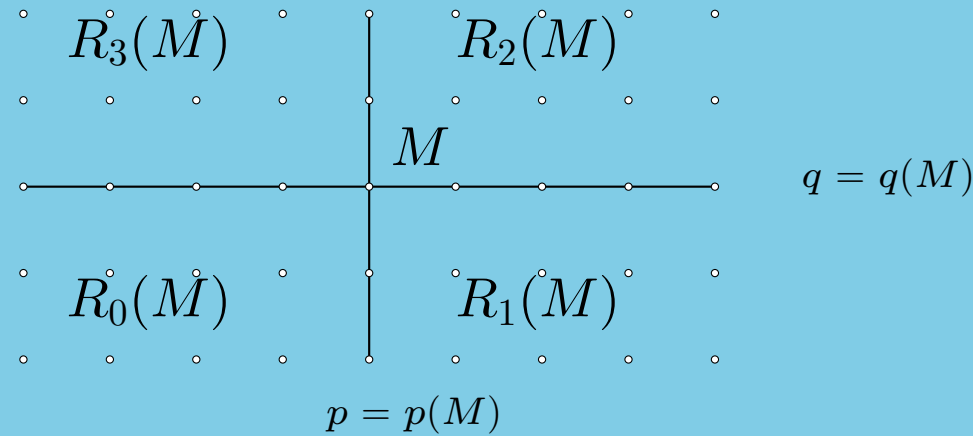
- $\mathcal{D} = \{x,y\}$ (directions horizontales et verticales.)
- \mathcal{F} est la classe des polyominos HV-convexes.

alors RECONSTRUCTION(\mathcal{F}, \mathcal{D}) peut être résolu en temps polynomial ([BDLNP96]).

Extension à des directions quelconques ?

1. Reconstruction des Q-convexes

Q-convexité



Les quatre quadrants :

$$R_0^{pq}(M) = \{N \in \mathbb{Z}^2 / p(N) \leq p(M) \text{ et } q(N) \leq q(M)\}$$

$$R_1^{pq}(M) = \{N \in \mathbb{Z}^2 / p(N) \geq p(M) \text{ et } q(N) \leq q(M)\}$$

$$R_2^{pq}(M) = \{N \in \mathbb{Z}^2 / p(N) \geq p(M) \text{ et } q(N) \geq q(M)\}$$

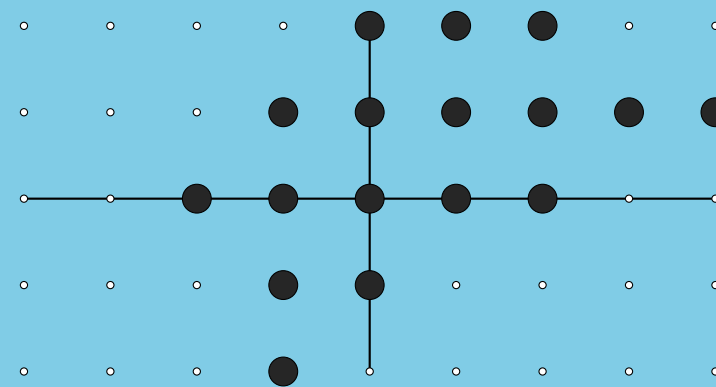
$$R_3^{pq}(M) = \{N \in \mathbb{Z}^2 / p(N) \leq p(M) \text{ et } q(N) \geq q(M)\}$$

Définition. Un ensemble F est Q -convexe selon les directions p et q si pour tous $M \in \mathbb{Z}^2$:

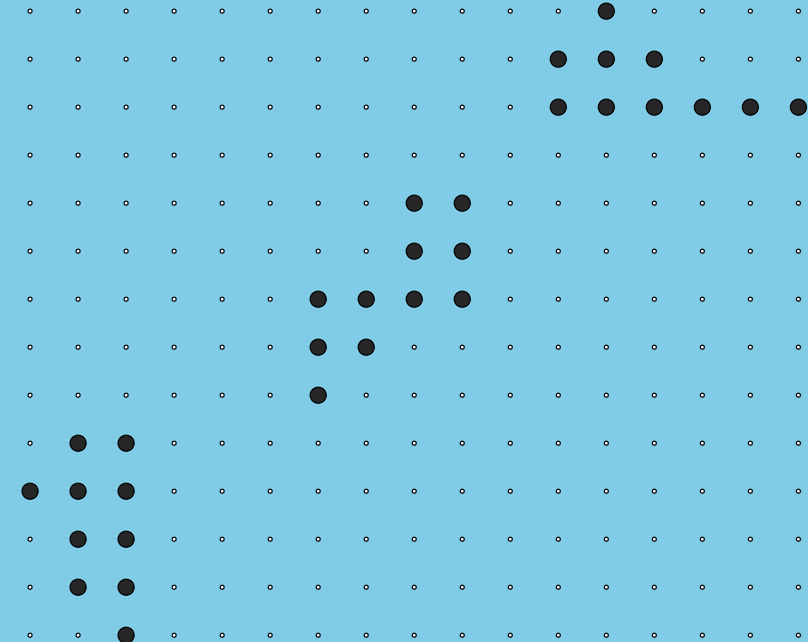
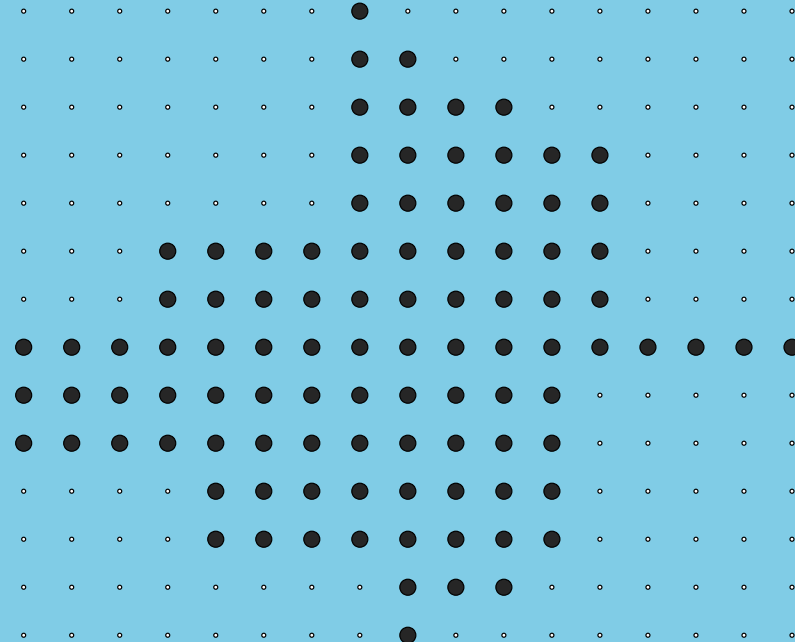
$$\forall i R_i^{pq}(M) \cap F \neq \emptyset \implies M \in F.$$

De manière équivalente

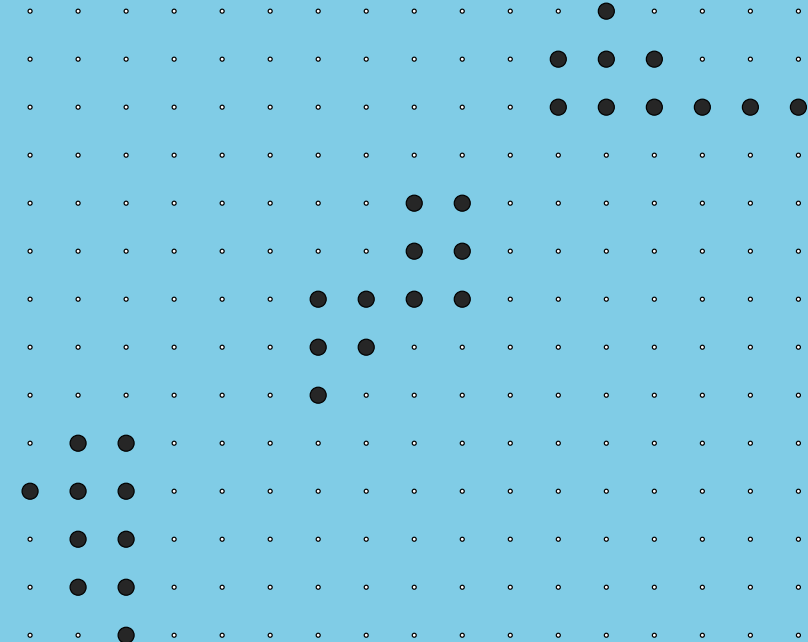
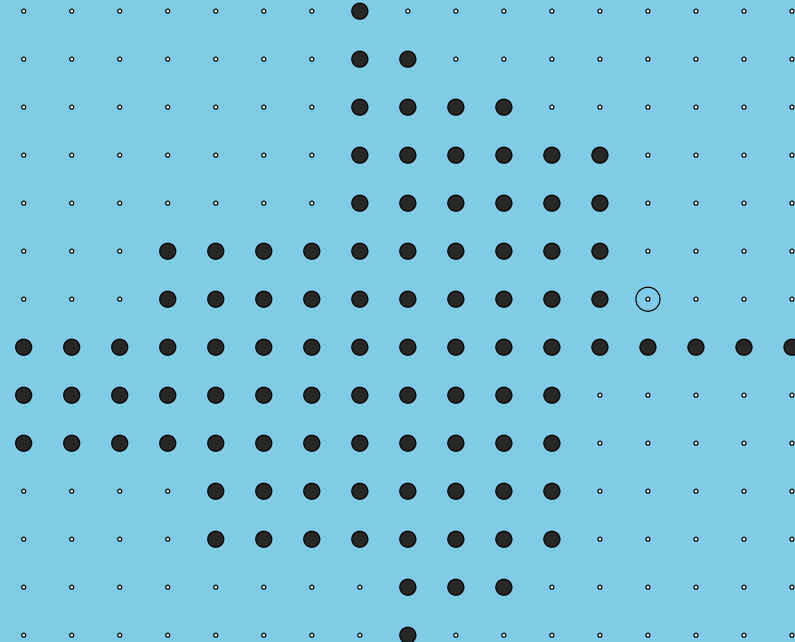
$$\forall M \in \mathbb{Z}^2 \setminus E \quad \exists i \quad R_i(M) \cap E = \emptyset$$



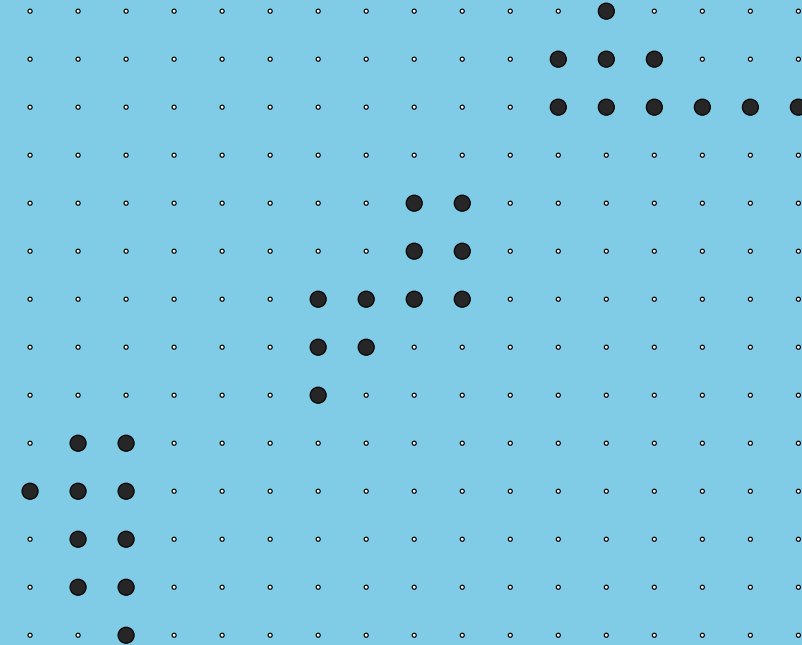
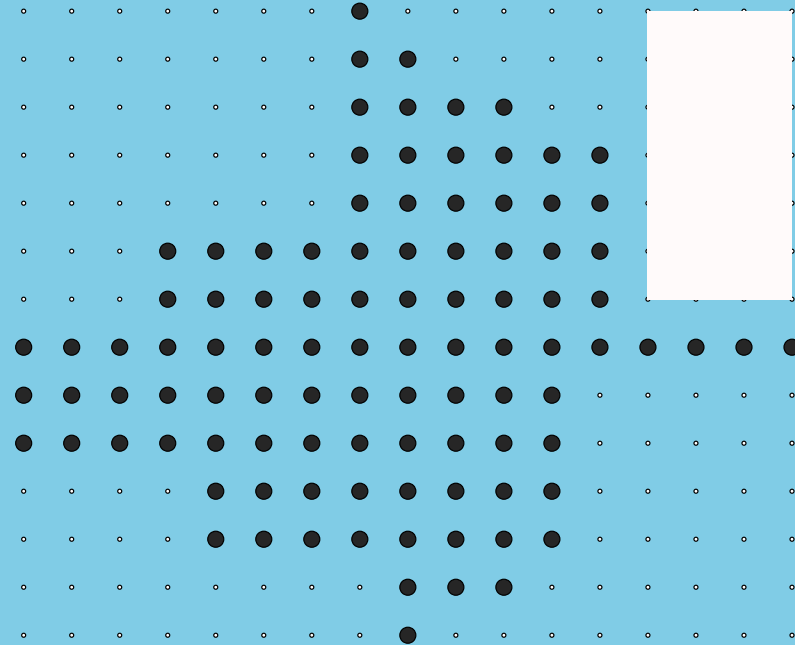
Deux ensembles Q-convexes selon x et y



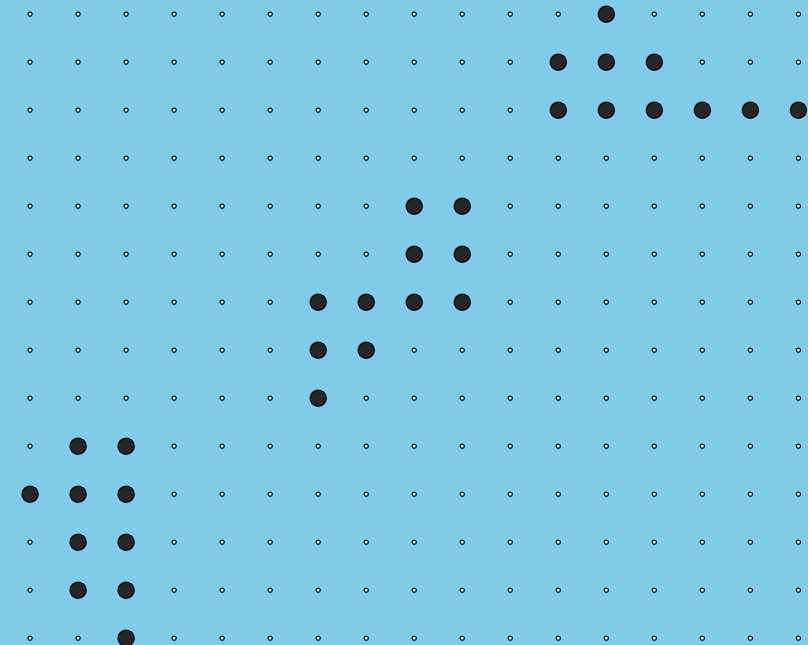
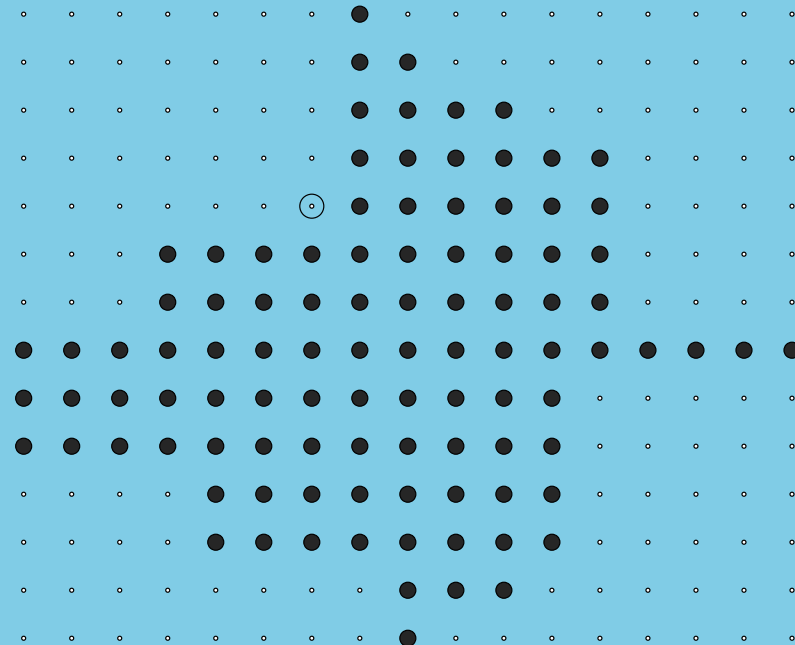
Deux ensembles Q-convexes selon x et y



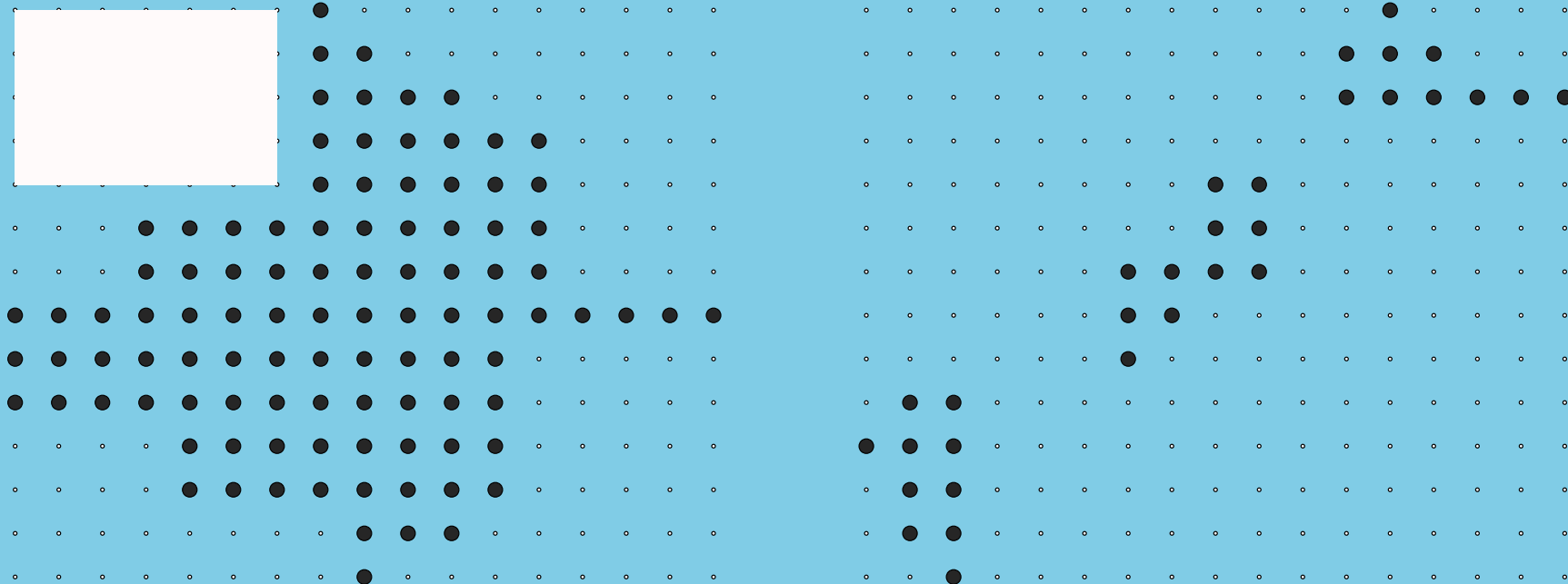
Deux ensembles Q-convexes selon x et y



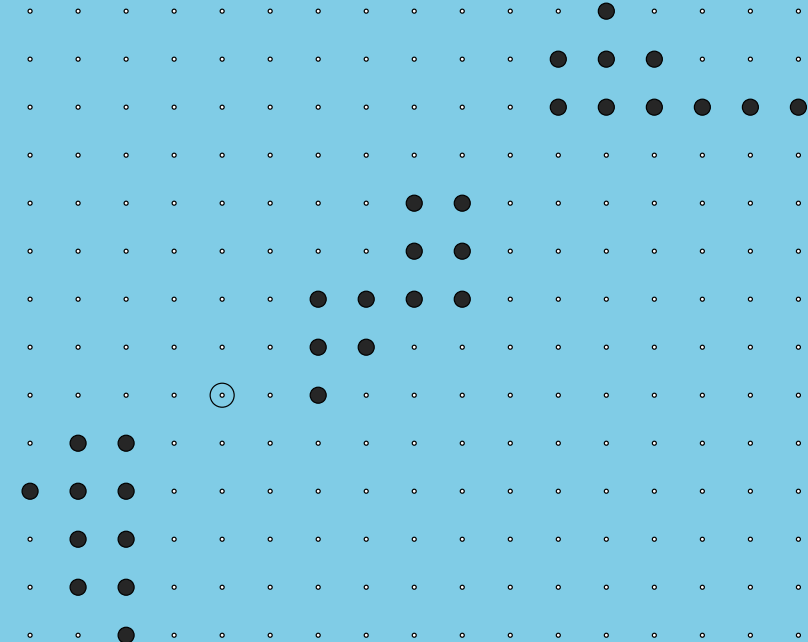
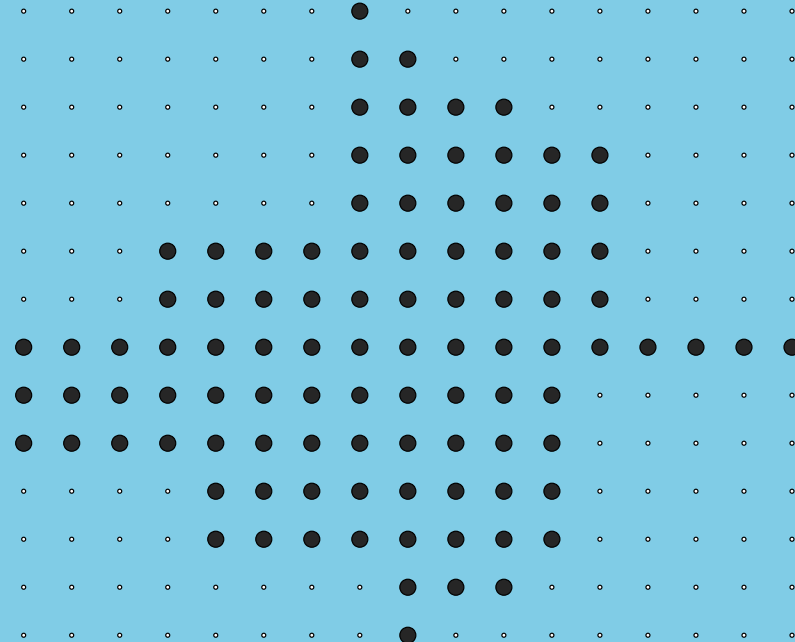
Deux ensembles Q-convexes selon x et y



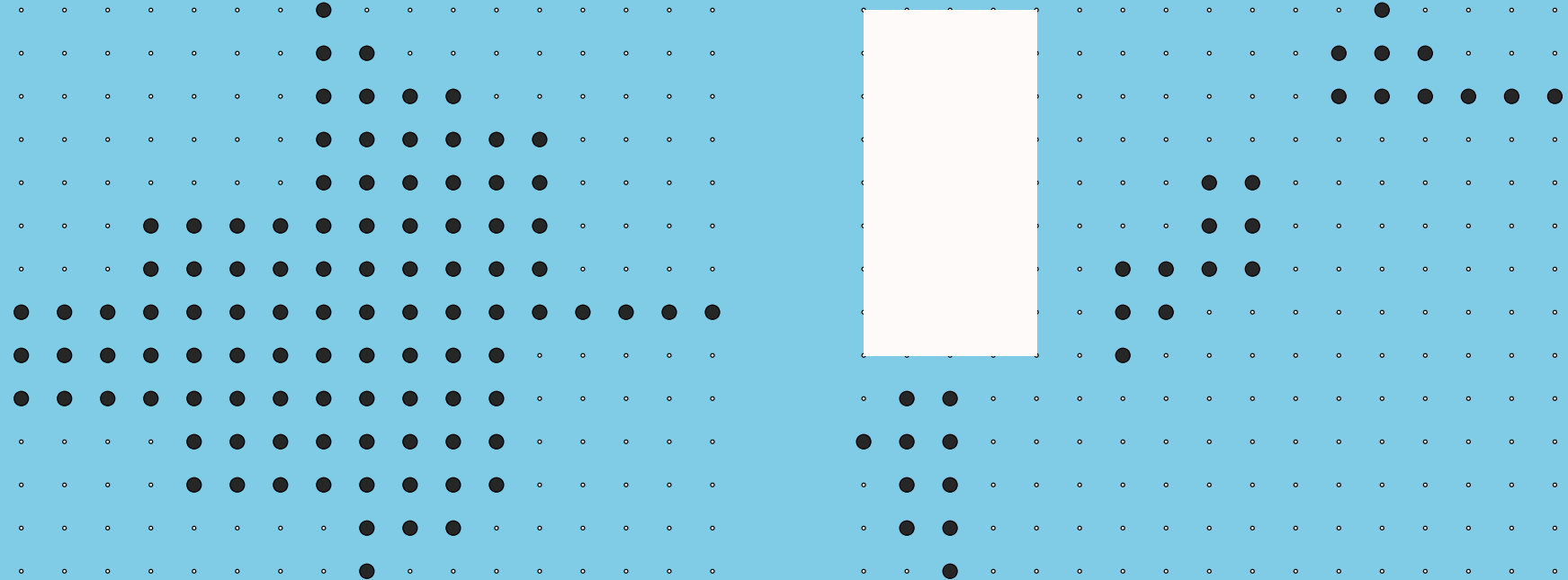
Deux ensembles Q-convexes selon x et y



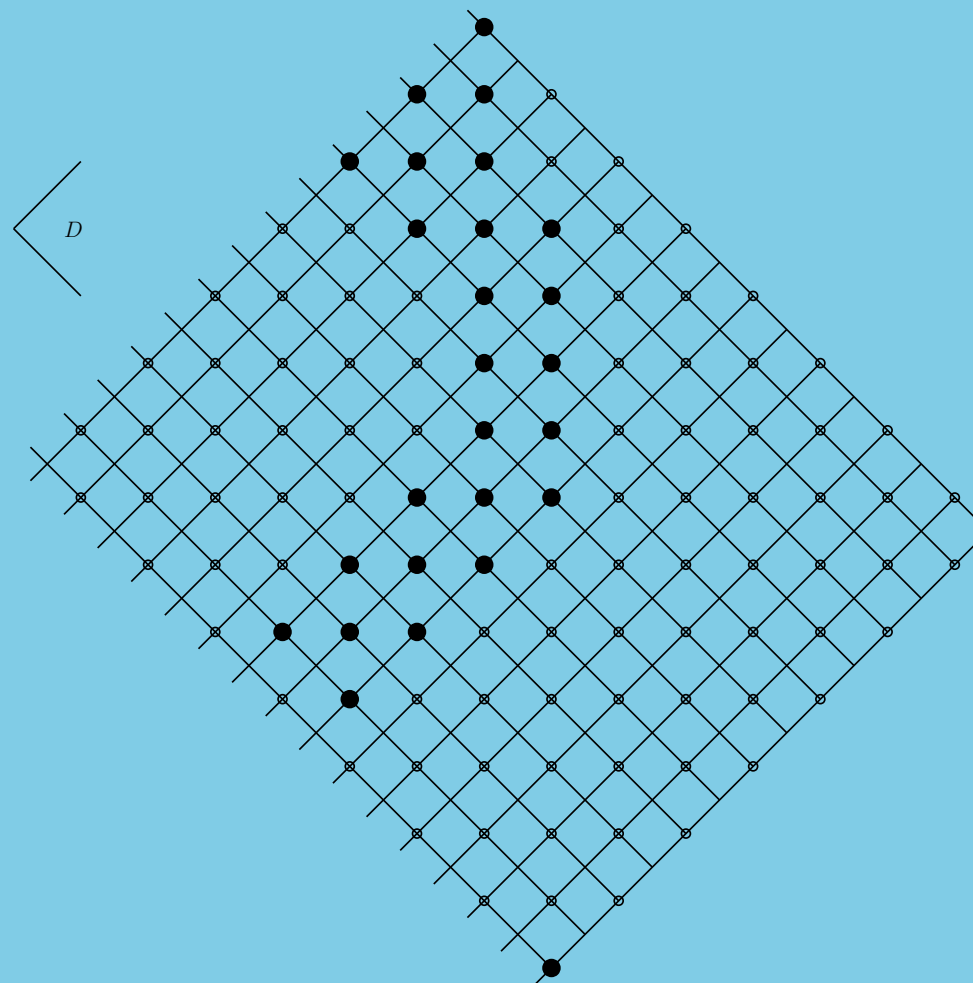
Deux ensembles Q-convexes selon x et y



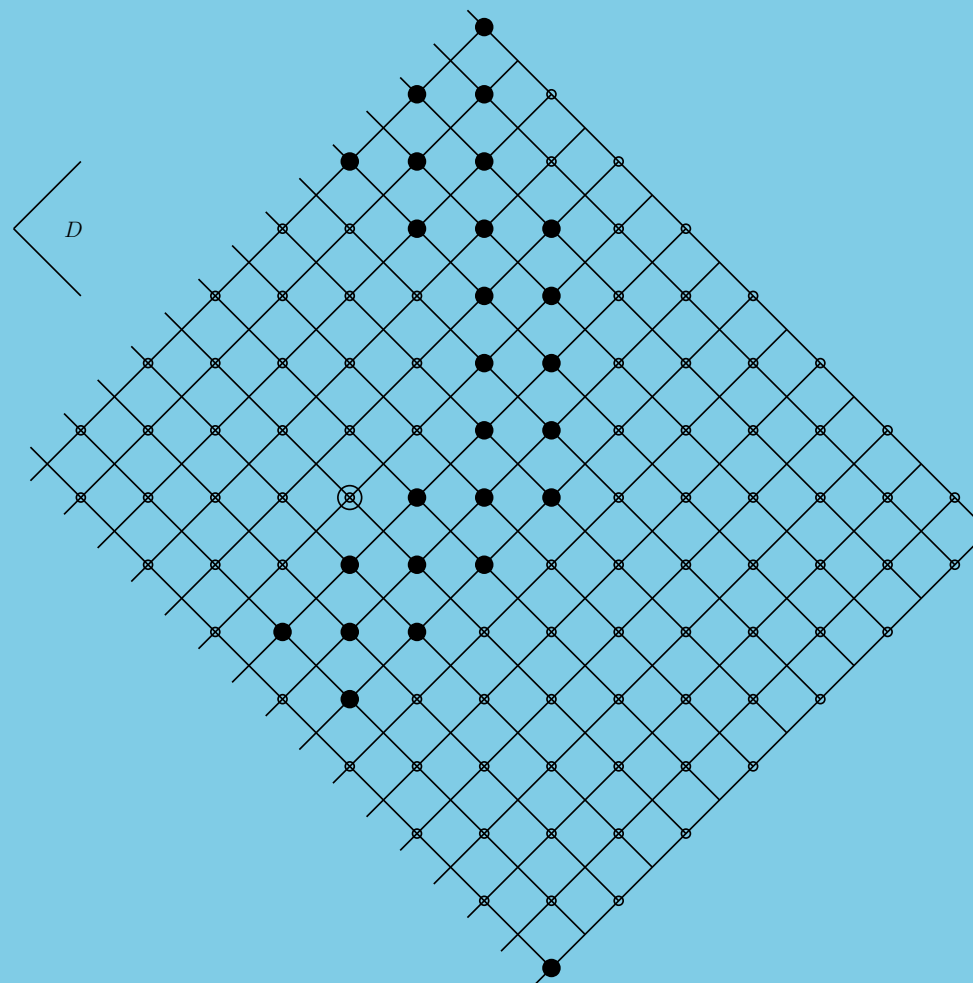
Deux ensembles Q-convexes selon x et y



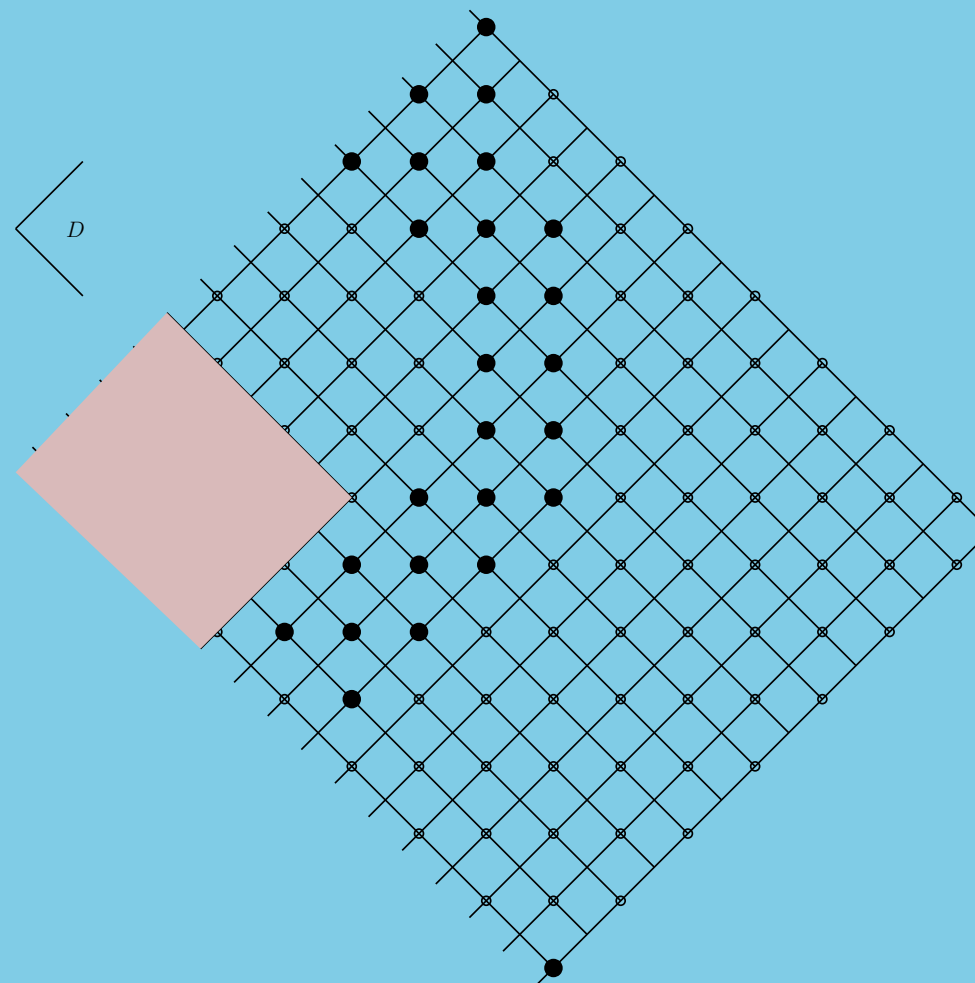
Un ensemble Q-convexe selon $x + y$ et $x - y$



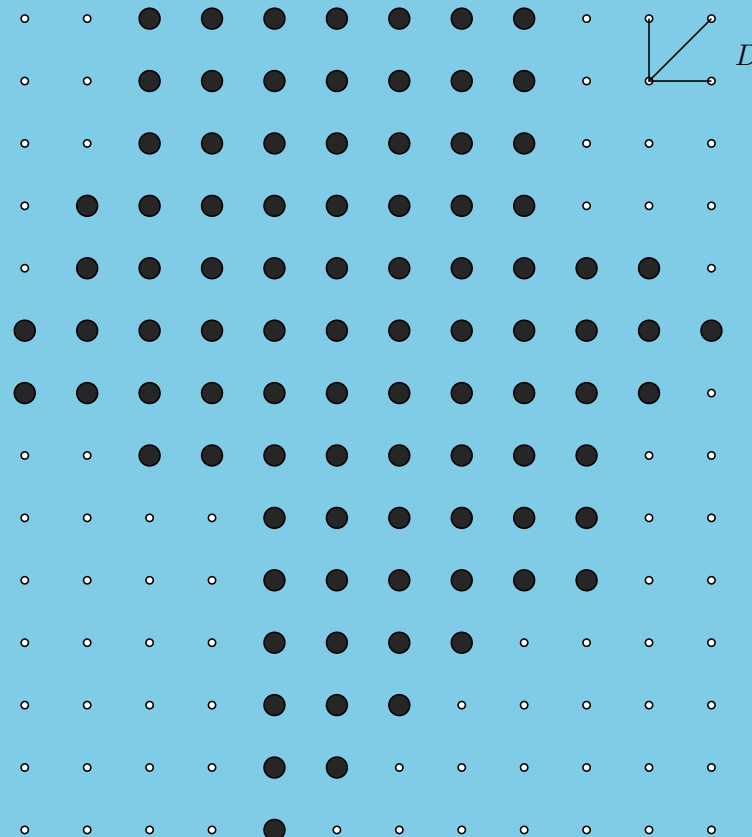
Un ensemble Q-convexe selon $x + y$ et $x - y$



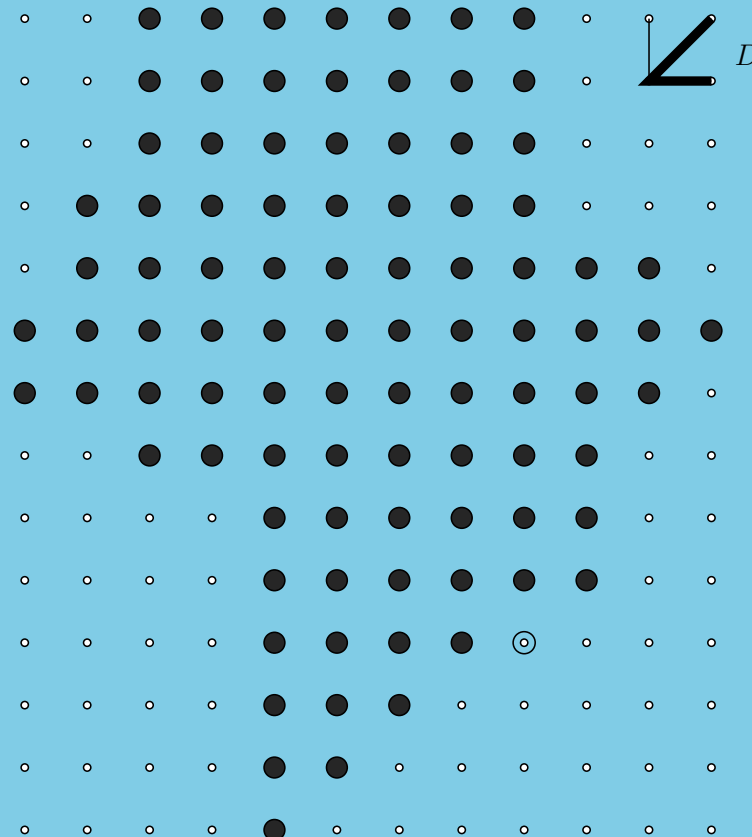
Un ensemble Q-convexe selon $x + y$ et $x - y$



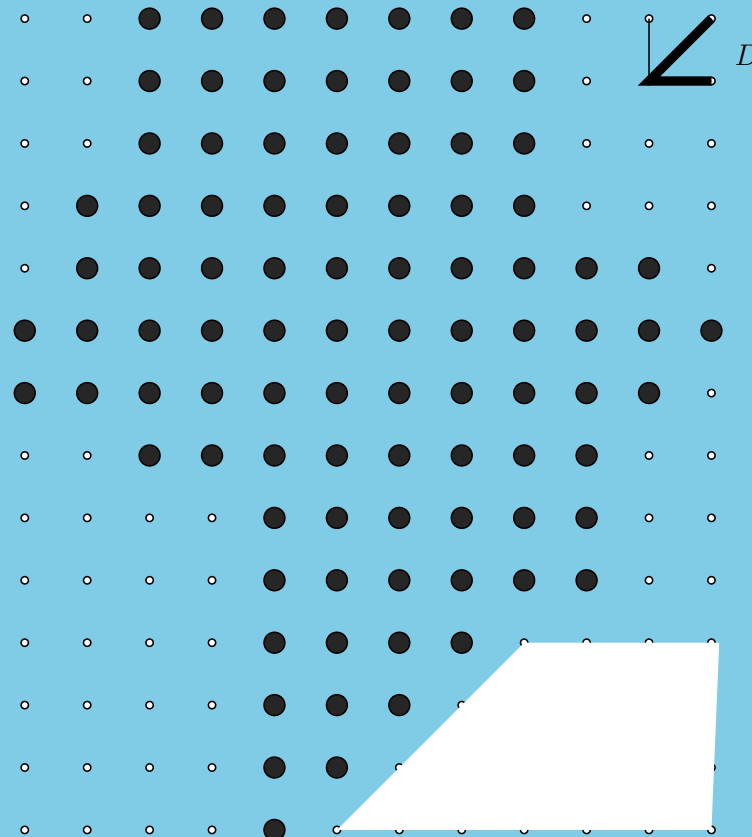
Un ensemble Q-convexe selon $x, y, x - y$



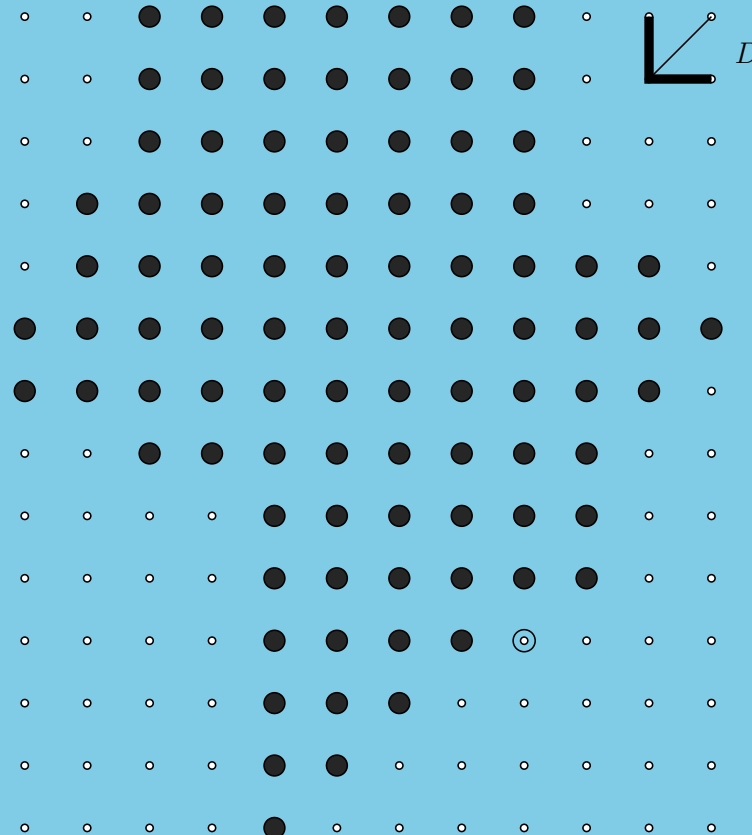
Un ensemble Q-convexe selon $x, y, x - y$



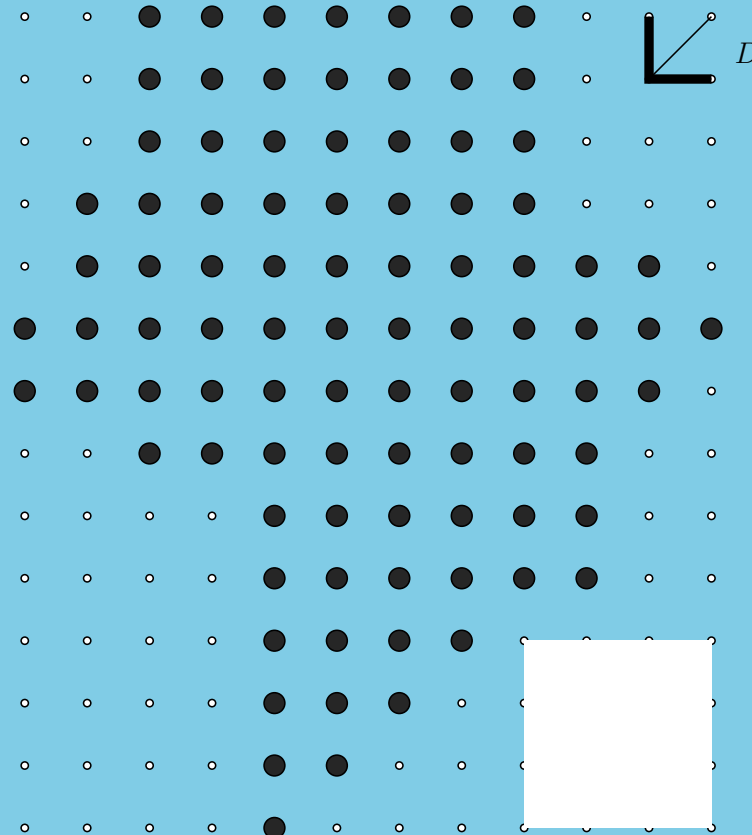
Un ensemble Q-convexe selon $x, y, x - y$



Un ensemble Q-convexe selon $x, y, x - y$



Un ensemble Q-convexe selon $x, y, x - y$



Enveloppe Q-convexe

L'intersection de deux Q-convexes selon \mathcal{D} est Q-convexe.

Enveloppe Q-convexe

L'intersection de deux Q-convexes selon \mathcal{D} est Q-convexe.

On peut donc définir l'enveloppe Q-convexe d'une partie quelconque de \mathbb{Z}^2 . Le programme

Reconstruction

Si $\mathcal{Q}(\mathcal{D})$ est la classe des Q-convexes selon \mathcal{D} alors
RECONSTRUCTION($\mathcal{Q}(\mathcal{D}), \mathcal{D}$) peut être résolu en $O(n^7)$ opérations.

Démo

- Essai générique

Reconstruction

Si $\mathcal{Q}(\mathcal{D})$ est la classe des Q-convexes selon \mathcal{D} alors
RECONSTRUCTION($\mathcal{Q}(\mathcal{D}), \mathcal{D}$) peut être résolu en $O(n^7)$ opérations.

Démo

- Essai générique
- directions diagonales

Reconstruction

Si $\mathcal{Q}(\mathcal{D})$ est la classe des Q-convexes selon \mathcal{D} alors
RECONSTRUCTION($\mathcal{Q}(\mathcal{D}), \mathcal{D}$) peut être résolu en $O(n^7)$ opérations.

Démo

- Essai générique
- directions diagonales
- Cas où 2-SAT est nécessaire

Reconstruction

Si $\mathcal{Q}(\mathcal{D})$ est la classe des Q-convexes selon \mathcal{D} alors
RECONSTRUCTION($\mathcal{Q}(\mathcal{D}), \mathcal{D}$) peut être résolu en $O(n^7)$ opérations.

Démo

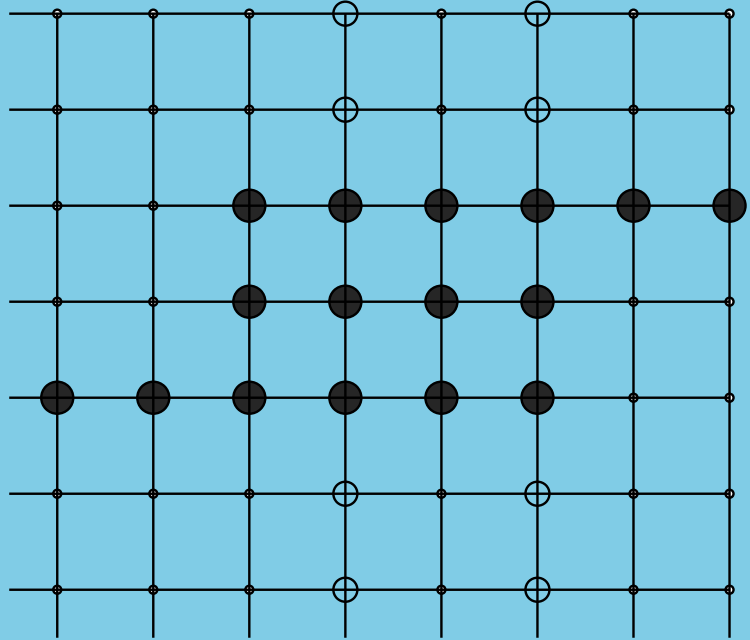
- Essai générique
- directions diagonales
- Cas où 2-SAT est nécessaire
- autre cas

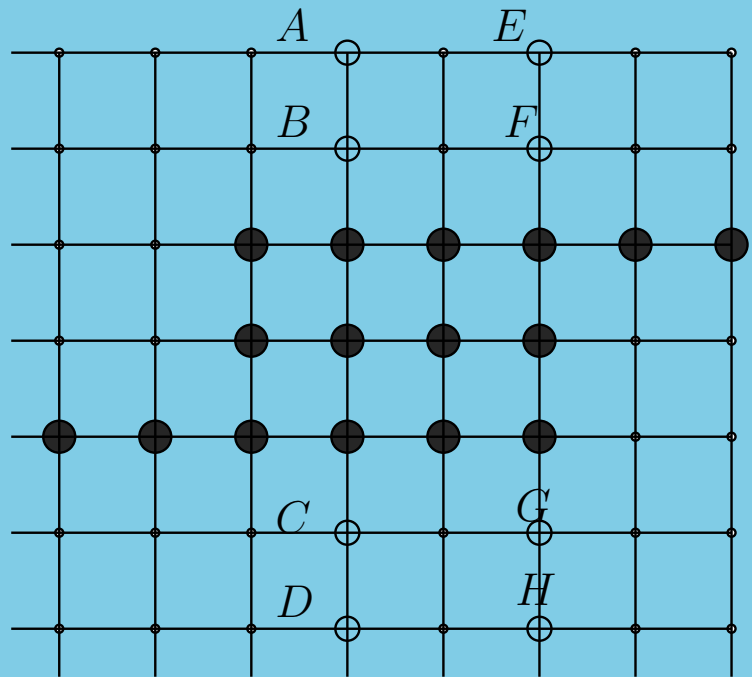
Reconstruction

Si $\mathcal{Q}(\mathcal{D})$ est la classe des Q-convexes selon \mathcal{D} alors
RECONSTRUCTION($\mathcal{Q}(\mathcal{D}), \mathcal{D}$) peut être résolu en $O(n^7)$ opérations.

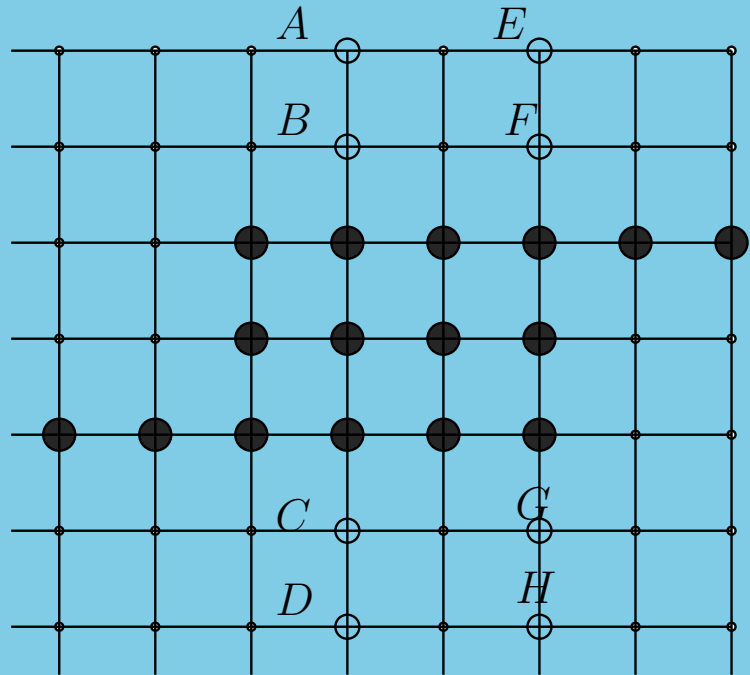
Démo

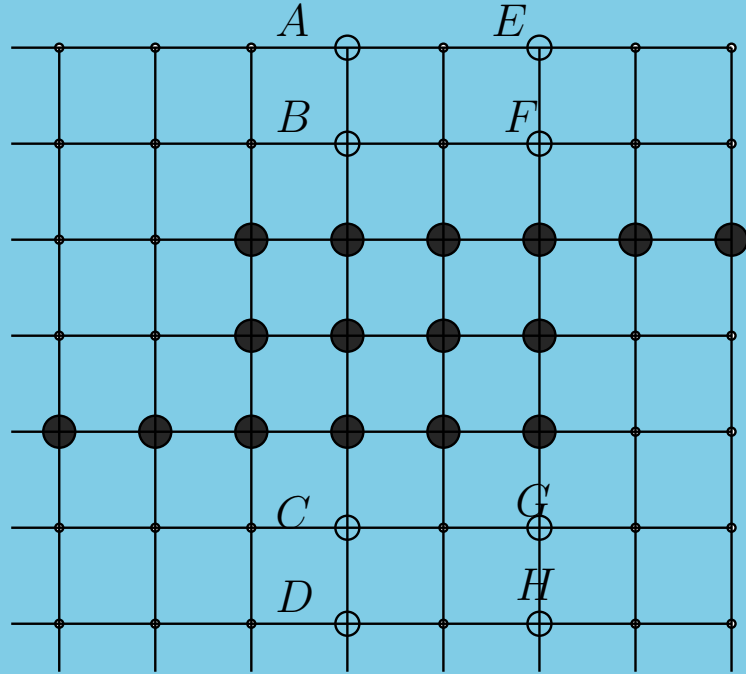
- Essai générique
- directions diagonales
- Cas où 2-SAT est nécessaire
- autre cas
- Cas où la Q-convexité intervient dans la phase finale.



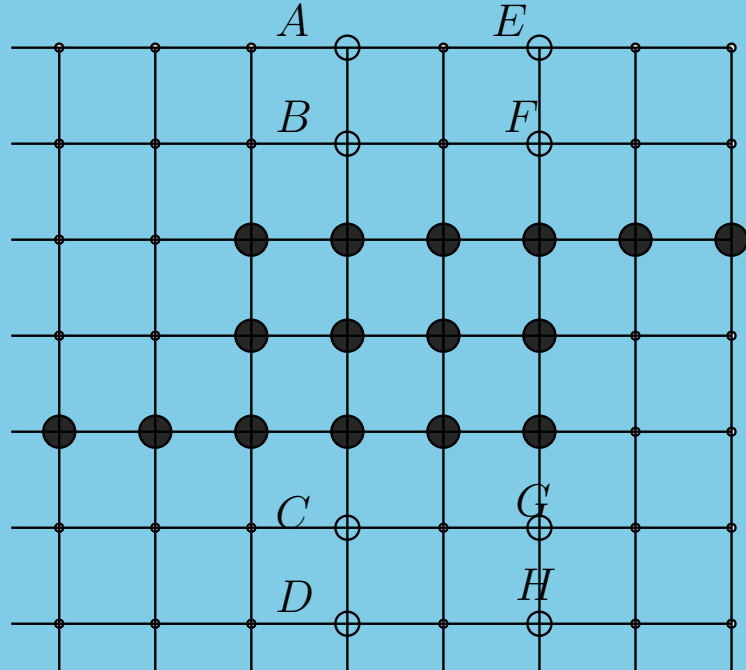


Projections verticales :





Projections verticales :
 $A \Leftrightarrow \neg C, B \Leftrightarrow \neg D,$
 $E \Leftrightarrow \neg G, F \Leftrightarrow \neg H.$

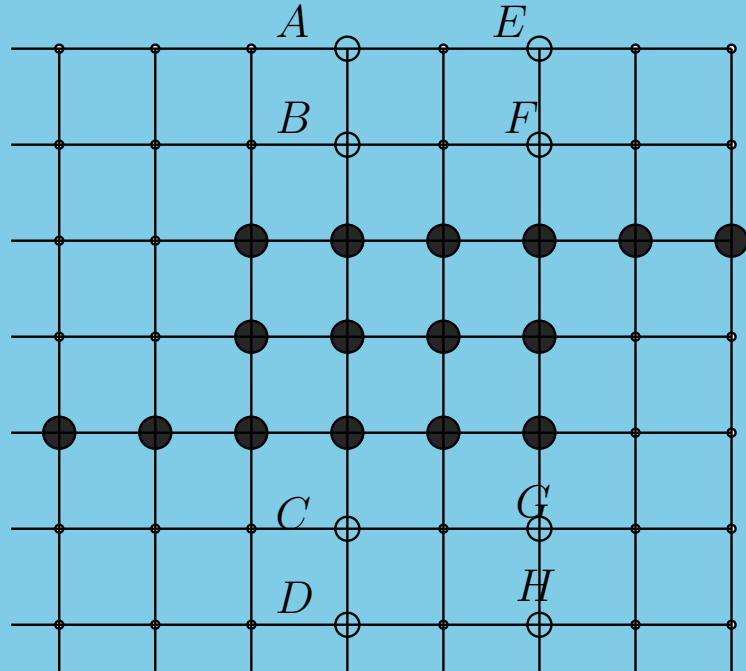


Projections verticales :

$$A \Leftrightarrow \neg C, B \Leftrightarrow \neg D,$$
$$E \Leftrightarrow \neg G, F \Leftrightarrow \neg H.$$

Projections horizontales :

$$A \Leftrightarrow \neg E, B \Leftrightarrow \neg F,$$
$$C \Leftrightarrow \neg G, D \Leftrightarrow \neg H.$$



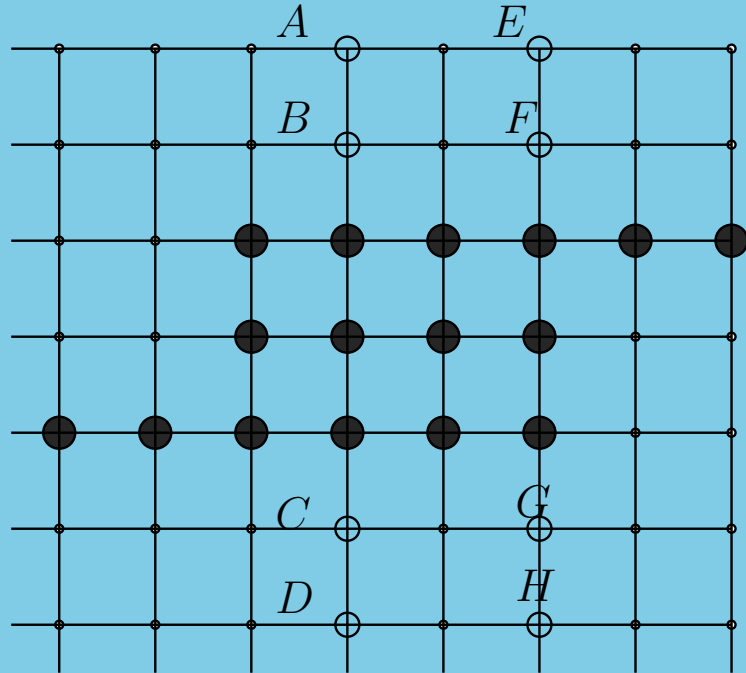
Projections verticales :

$$A \Leftrightarrow \neg C, B \Leftrightarrow \neg D,$$
$$E \Leftrightarrow \neg G, F \Leftrightarrow \neg H.$$

Projections horizontales :

$$A \Leftrightarrow \neg E, B \Leftrightarrow \neg F,$$
$$C \Leftrightarrow \neg G, D \Leftrightarrow \neg H.$$

Convexité:



Projections verticales :

$$A \Leftrightarrow \neg C, B \Leftrightarrow \neg D,$$
$$E \Leftrightarrow \neg G, F \Leftrightarrow \neg H.$$

Projections horizontales :

$$A \Leftrightarrow \neg E, B \Leftrightarrow \neg F,$$
$$C \Leftrightarrow \neg G, D \Leftrightarrow \neg H.$$

Convexité:

$$A \Rightarrow B, D \Rightarrow C,$$
$$E \Rightarrow F, H \Rightarrow G,$$

- Choix des pieds. ($O(n^2)$)
- Liaison des pieds en utilisant la Q-convexité. ($O(n^2)$)
- Opérations de complétings utilisant la convexité selon chaque des directions ($O(n^5)$)
- Réduction du problème à 2-SAT ($O(n^5)$).

- Choix des pieds. ($O(n^2)$)
- Liaison des pieds en utilisant la Q-convexité. ($O(n^2)$)
- Opérations de complétings utilisant la convexité selon chaque des directions ($O(n^5)$)
- Réduction du problème à 2-SAT ($O(n^5)$).

Dernièrement, les deux dernières étapes ont été réduites à $O(n^3) \rightarrow$ algorithme global en $O(n^5)$.

2. Reconstruction approchée des Q -convexes

RECAAPPRO(\mathcal{F}, \mathcal{D})

Donnée : $2|\mathcal{D}|$ vecteurs $(p_i)_{i \in \mathbb{Z}}$ et $(p'_i)_{i \in \mathbb{Z}^2}$ pour $p \in \mathcal{D}$.

Sortie : Un ensemble $E \in \mathcal{F}$, si il existe, dont les projections vérifient

$$\forall p \in \mathcal{D} \quad \forall i \in \mathbb{Z} \quad p_i \leq X_p E(i) \leq p'_i.$$

Si $|\mathcal{D}| = 2$ alors RECAPPRO($\mathcal{Q}(\mathcal{D}), \mathcal{D}$) peut être résolu en $O(n^6)$ opérations.

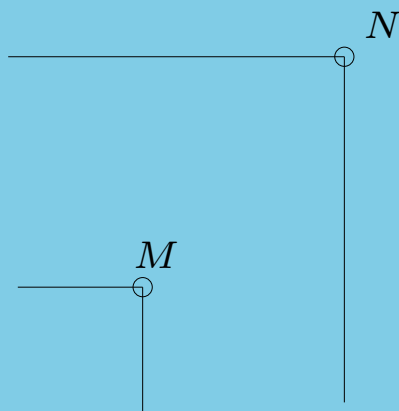
- Choix de quatre pieds.
- Réduction directe du problème à 2-SAT en utilisant quatre variables $V_0(M), V_1(M), V_2(M), V_3(M)$ pour chaque point M . La variable $V_i(M)$ signifiant “ $R_i(M) \cap E = \emptyset$ ”.

E peut se calculer à partir de V :

$$E = \{M \in \Delta \mid \neg V_0(M) \wedge \neg V_1(M) \wedge \neg V_2(M) \wedge \neg V_3(M)\}.$$

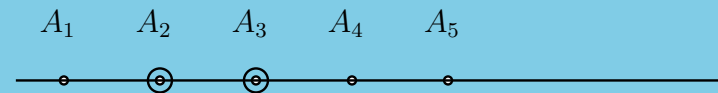
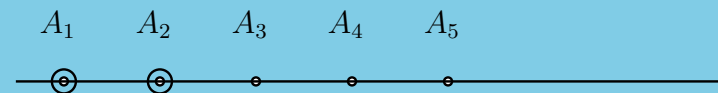
Expression de la Q-convexité.

Si $R_i(M) \subset R_i(N)$ alors $V_i(N) \implies V_i(M)$.



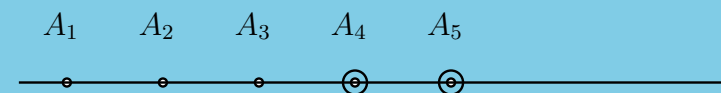
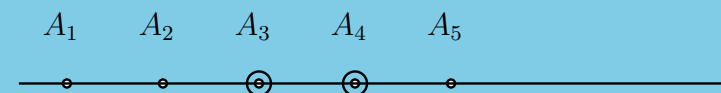
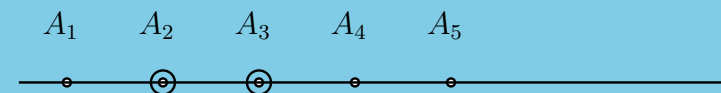
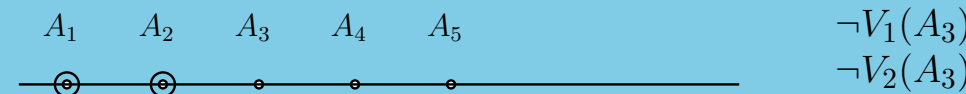
Borne inférieure

Expression par une 2-formule que $X_q E(j) \geq 3$



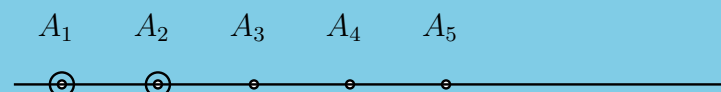
Borne inférieure

Expression par une 2-formule que $X_q E(j) \geq 3$

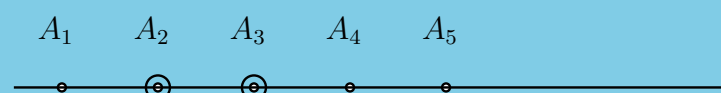


Borne inférieure

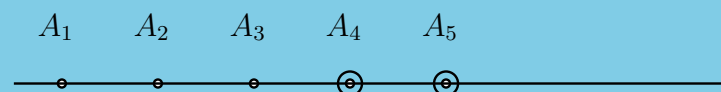
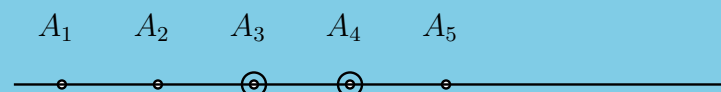
Expression par une 2-formule que $X_q E(j) \geq 3$



$$\begin{aligned}\neg V_1(A_3) \\ \neg V_2(A_3)\end{aligned}$$

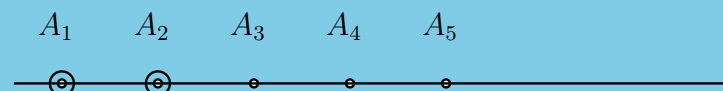


$$\begin{aligned}\neg V_0(A_1) \vee V_1(A_4) \\ \neg V_0(A_1) \vee V_2(A_4) \\ \neg V_3(A_1) \vee V_1(A_4) \\ \neg V_3(A_1) \vee V_2(A_4)\end{aligned}$$

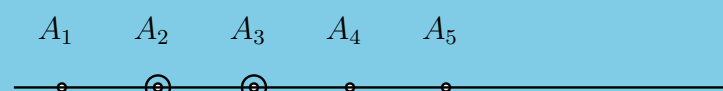


Borne inférieure

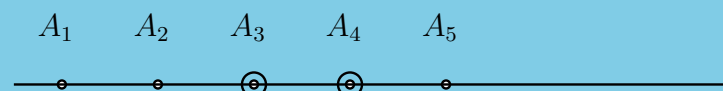
Expression par une 2-formule que $X_q E(j) \geq 3$



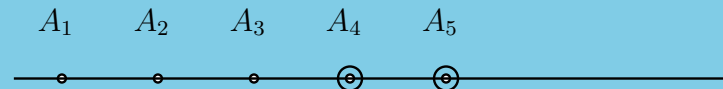
$$\begin{aligned}\neg V_1(A_3) \\ \neg V_2(A_3)\end{aligned}$$



$$\begin{aligned}\neg V_0(A_1) \vee V_1(A_4) \\ \neg V_0(A_1) \vee V_2(A_4) \\ \neg V_3(A_1) \vee V_1(A_4) \\ \neg V_3(A_1) \vee V_2(A_4)\end{aligned}$$

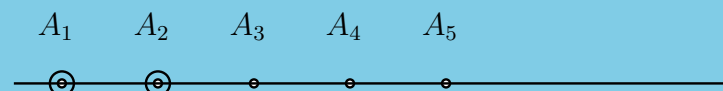


$$\begin{aligned}\neg V_0(A_2) \vee V_1(A_5) \\ \neg V_0(A_2) \vee V_2(A_5) \\ \neg V_3(A_2) \vee V_1(A_5) \\ \neg V_3(A_2) \vee V_2(A_5)\end{aligned}$$

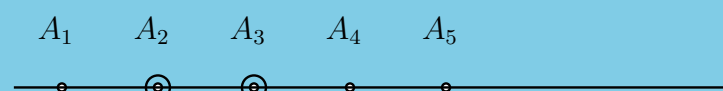


Borne inférieure

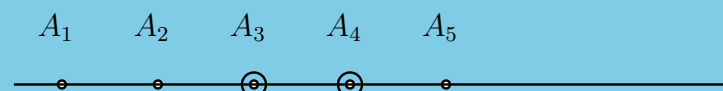
Expression par une 2-formule que $X_q E(j) \geq 3$



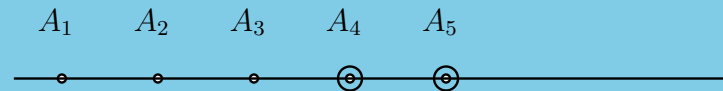
$$\begin{aligned}\neg V_1(A_3) \\ \neg V_2(A_3)\end{aligned}$$



$$\begin{aligned}\neg V_0(A_1) \vee V_1(A_4) \\ \neg V_0(A_1) \vee V_2(A_4) \\ \neg V_3(A_1) \vee V_1(A_4) \\ \neg V_3(A_1) \vee V_2(A_4)\end{aligned}$$



$$\begin{aligned}\neg V_0(A_2) \vee V_1(A_5) \\ \neg V_0(A_2) \vee V_2(A_5) \\ \neg V_3(A_2) \vee V_1(A_5) \\ \neg V_3(A_2) \vee V_2(A_5)\end{aligned}$$

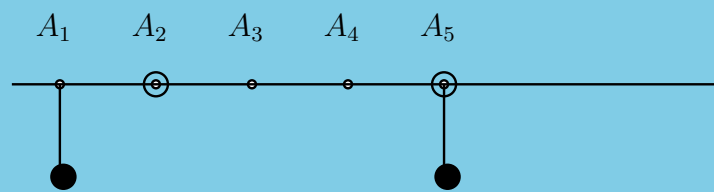
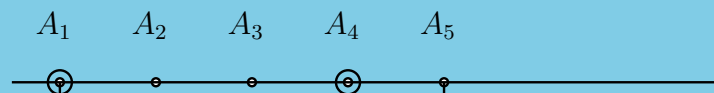


$$\begin{aligned}\neg V_0(A_3) \\ \neg V_3(A_3)\end{aligned}$$

Borne supérieure

Expression par une 2-formule que $X_q E(j) \leq 3$

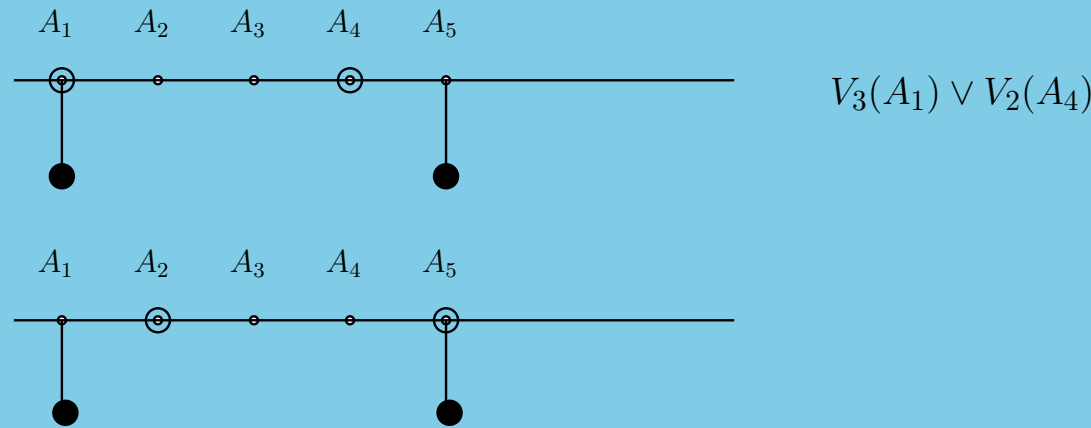
On doit fixer des points qui extrémisent p .



Borne supérieure

Expression par une 2-formule que $X_q E(j) \leq 3$

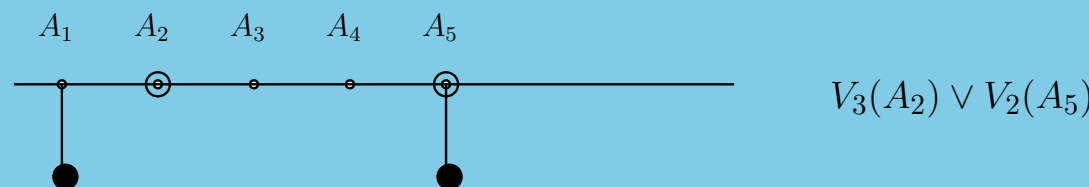
On doit fixer des points qui extrémisent p .



Borne supérieure

Expression par une 2-formule que $X_q E(j) \leq 3$

On doit fixer des points qui extrémisent p .

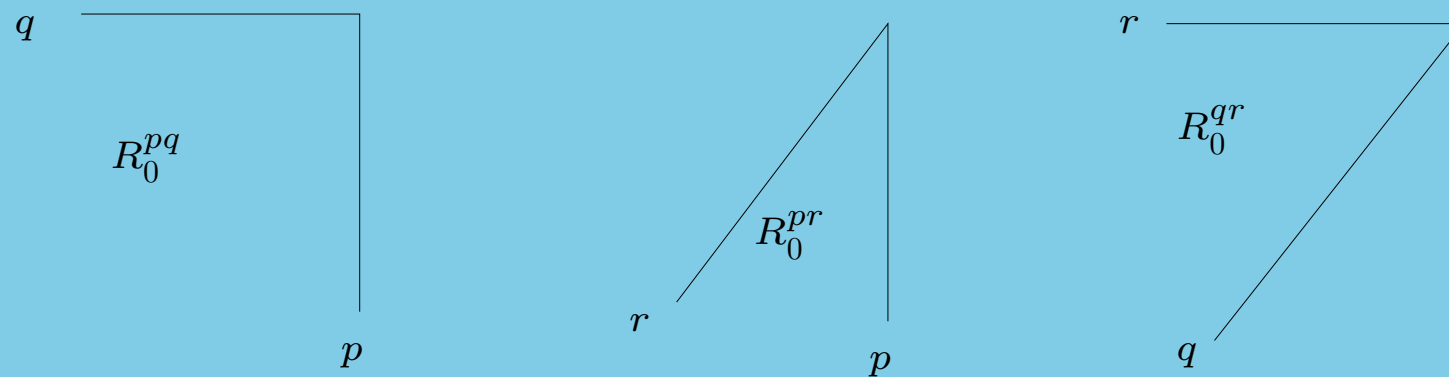


Extension à plusieurs directions

L'algorithme précédent ne s'étend pas facilement pour les Q-convexes selon plus de trois directions

Extension à plusieurs directions

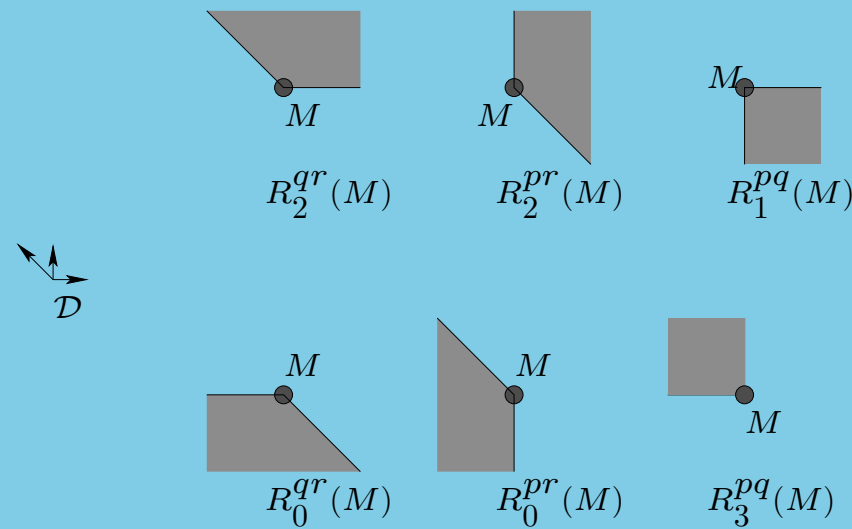
L'algorithme précédent ne s'étend pas facilement pour les Q-convexes selon plus de trois directions



$$V_0^{pq} \Leftrightarrow V_0^{pr} \vee V_0^{qr}$$

Les ASP (presque-demi-plans)

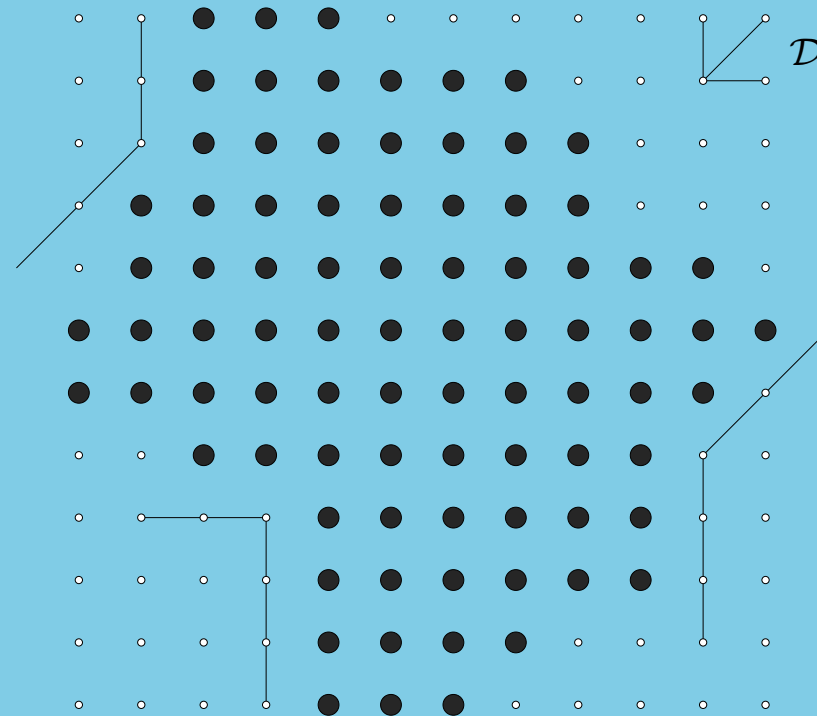
Définition. Un ASP selon \mathcal{D} est un quadrant maximal parmi les quadrants selon deux directions de \mathcal{D} .



Les six ASP autour d'un point pour $\mathcal{D} = \{x, y, x + y\}$.

Q-convexes forts

Un ensemble $E \subset \mathbb{Z}^2$ est Q-convexe fort si pour tout $M \notin E$ il existe un ASP autour de M qui ne contient aucun point de M .



Si $\mathcal{QF}(\mathcal{D})$ désigne la classe des Q-convexes forts selon \mathcal{D} alors RECAPPRO($\mathcal{Q}(\mathcal{D}), \mathcal{D}$) peut être résolu en $O(n^{2+2d})$ opérations.

3. Unicité

Unicité

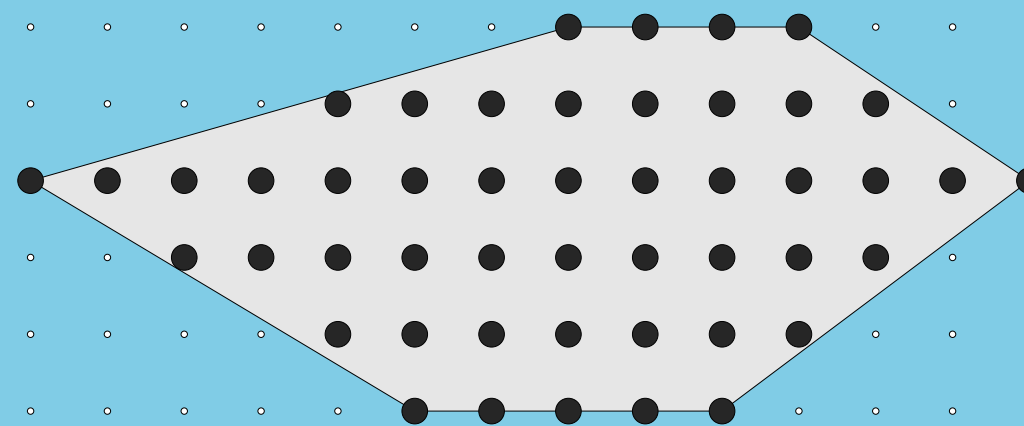
Définition. *L'ensemble de directions \mathcal{D} caractérise la classe \mathcal{E} si pour tous ensemble E_1 et E_2 de \mathcal{E} on a :*

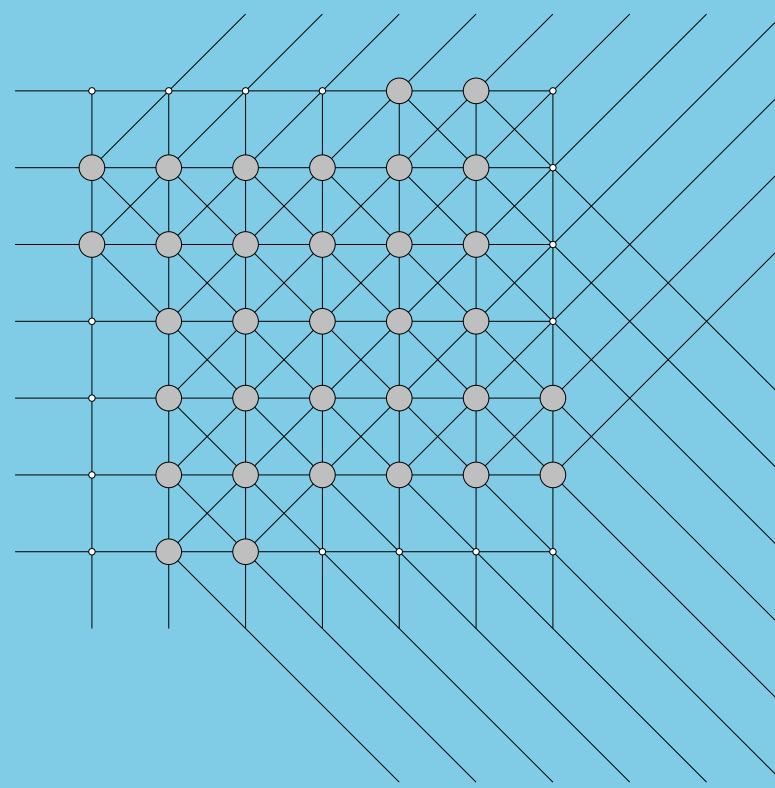
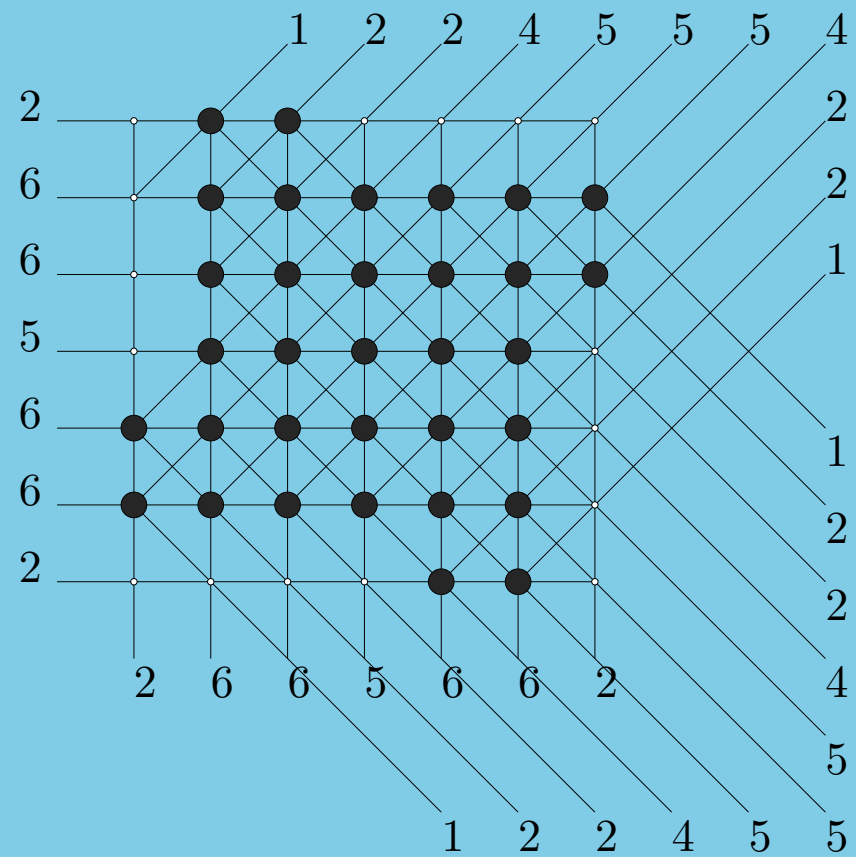
$$(\forall p \in \mathcal{D} \ X_p E_1 = X_p E_2) \implies E_1 = E_2$$

Résultat négatif ([BDLNP]): Aucun ensemble fini de directions caractérise la classe des parties quelconques de \mathbb{Z}^2 .

Ensembles totalement convexes

Un ensemble $E \subset \mathbb{Z}^2$ est totalement convexe si
 $E = \mathbb{Z}^2 \cap \text{conv } E$.





$$\mathcal{D} = \{x, y, x + y, x - y\}$$

Caractérisation des ensembles totalement convexes

Théorème. [[GG97]] *Si un birapport de quatre directions de \mathcal{D} n'est pas dans $\{\frac{4}{3}, \frac{3}{2}, 2, 3, 4\}$ alors \mathcal{D} caractérise la classe des totalement convexes.*

Caractérisation des ensembles totalement convexes

Théorème. [[GG97]] *Si un birapport de quatre directions de \mathcal{D} n'est pas dans $\{\frac{4}{3}, \frac{3}{2}, 2, 3, 4\}$ alors \mathcal{D} caractérise la classe des totalement convexes.*

$$\text{Birapport : } \left[\begin{matrix} p_1 & p_2 \\ p_3 & p_4 \end{matrix} \right] = \frac{p_3 - p_1}{p_3 - p_2} : \frac{p_4 - p_1}{p_4 - p_2} = \frac{(p_3 - p_1)(p_4 - p_2)}{(p_3 - p_2)(p_4 - p_1)}$$

Caractérisation des ensembles totalement convexes

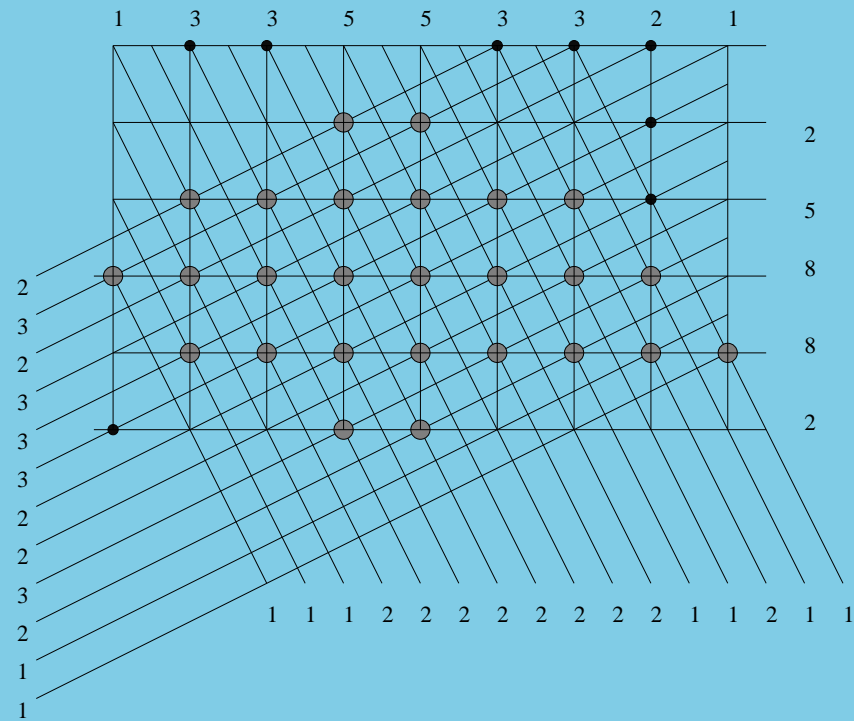
Théorème. [[GG97]] *Si un birapport de quatre directions de \mathcal{D} n'est pas dans $\{\frac{4}{3}, \frac{3}{2}, 2, 3, 4\}$ alors \mathcal{D} caractérise la classe des totalement convexes.*

$$\text{Birapport : } \left[\begin{matrix} p_1 & p_2 \\ p_3 & p_4 \end{matrix} \right] = \frac{p_3 - p_1}{p_3 - p_2} : \frac{p_4 - p_1}{p_4 - p_2} = \frac{(p_3 - p_1)(p_4 - p_2)}{(p_3 - p_2)(p_4 - p_1)}$$

Corollaire. *Si $\|\mathcal{D}\| \geq 7$ alors \mathcal{D} caractérise les totalement convexes*

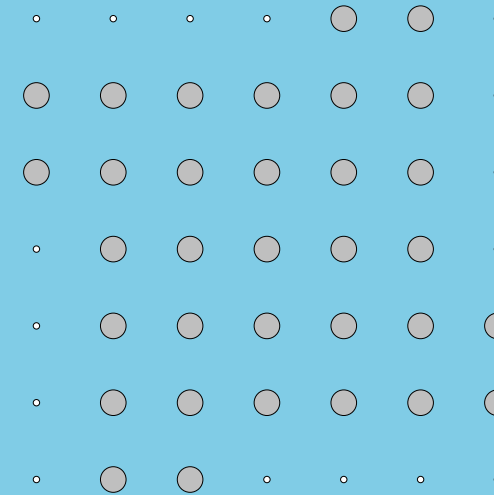
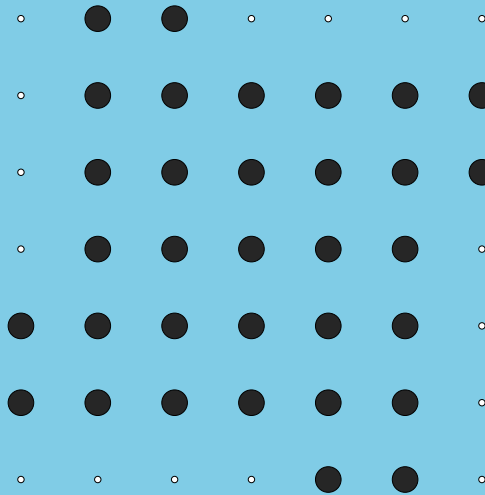
Exemple : $\mathcal{D} = \{x, y, 2x + y, x - 2y\}$, $\left[\begin{smallmatrix} -2 & 0 \\ \frac{1}{2} & \infty \end{smallmatrix} \right] = 5 \notin \{\frac{4}{3}, \frac{3}{2}, 2, 3, 4\}$

Exemple : $\mathcal{D} = \{x, y, 2x + y, x - 2y\}$, $\left[\begin{smallmatrix} -2 & 0 \\ \frac{1}{2} & \infty \end{smallmatrix} \right] = 5 \notin \{\frac{4}{3}, \frac{3}{2}, 2, 3, 4\}$



Switching-component

Définition. *Un switching-component selon \mathcal{D} est la différence de deux ensembles qui ont les mêmes projections selon \mathcal{D} .*



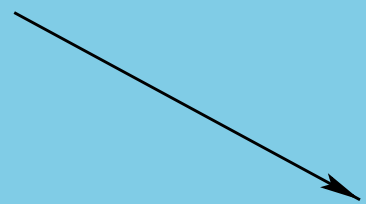
$$(E^-, E^+) = (F^+ \setminus F^-, F^- \setminus F^+)$$

A diagram illustrating the switching-component (E^-, E^+) as the difference between F^+ and F^- . It shows two sets of points: F^+ (black dots and open circles) and F^- (open circles). The switching-component is represented by the points that are in one set but not the other, resulting in a pattern of black dots and open circles.

Switching de totalement convexes



D-polygones convexes



D-polygones affinement régulier



tous les birapport sont dans $\{4/3, 3/2, 2, 3, 4\}$

Switching de totalement convexes

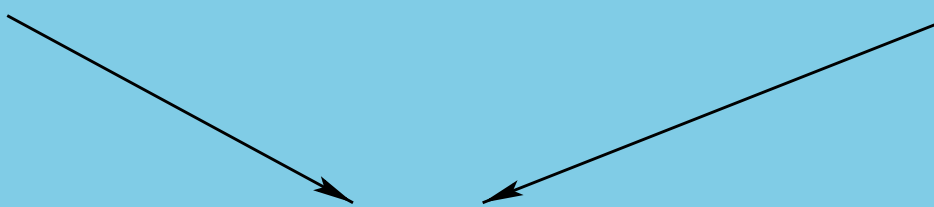


D-polygones convexes

Switchings de Q-convexes



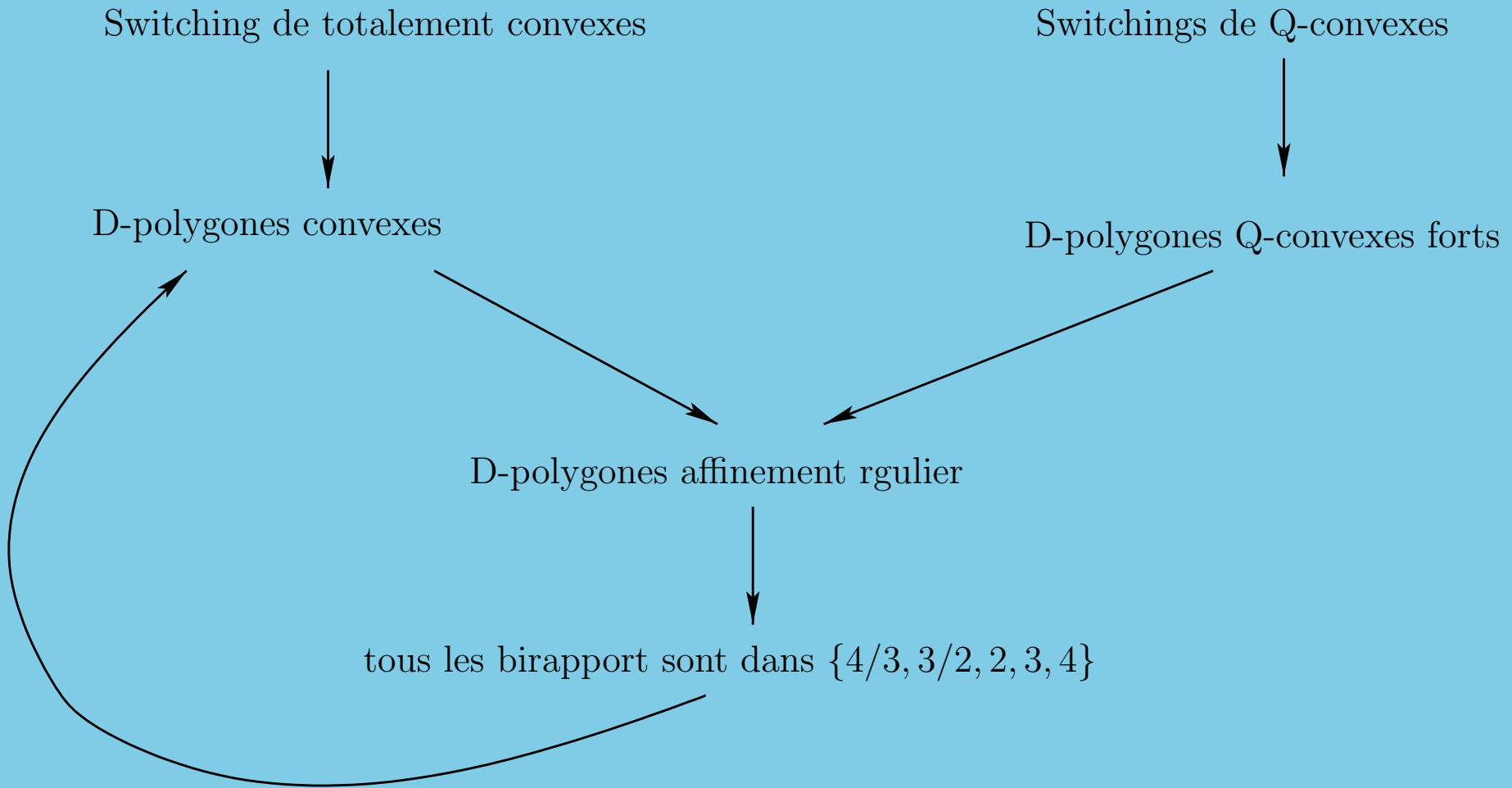
D-polygones Q-convexes forts

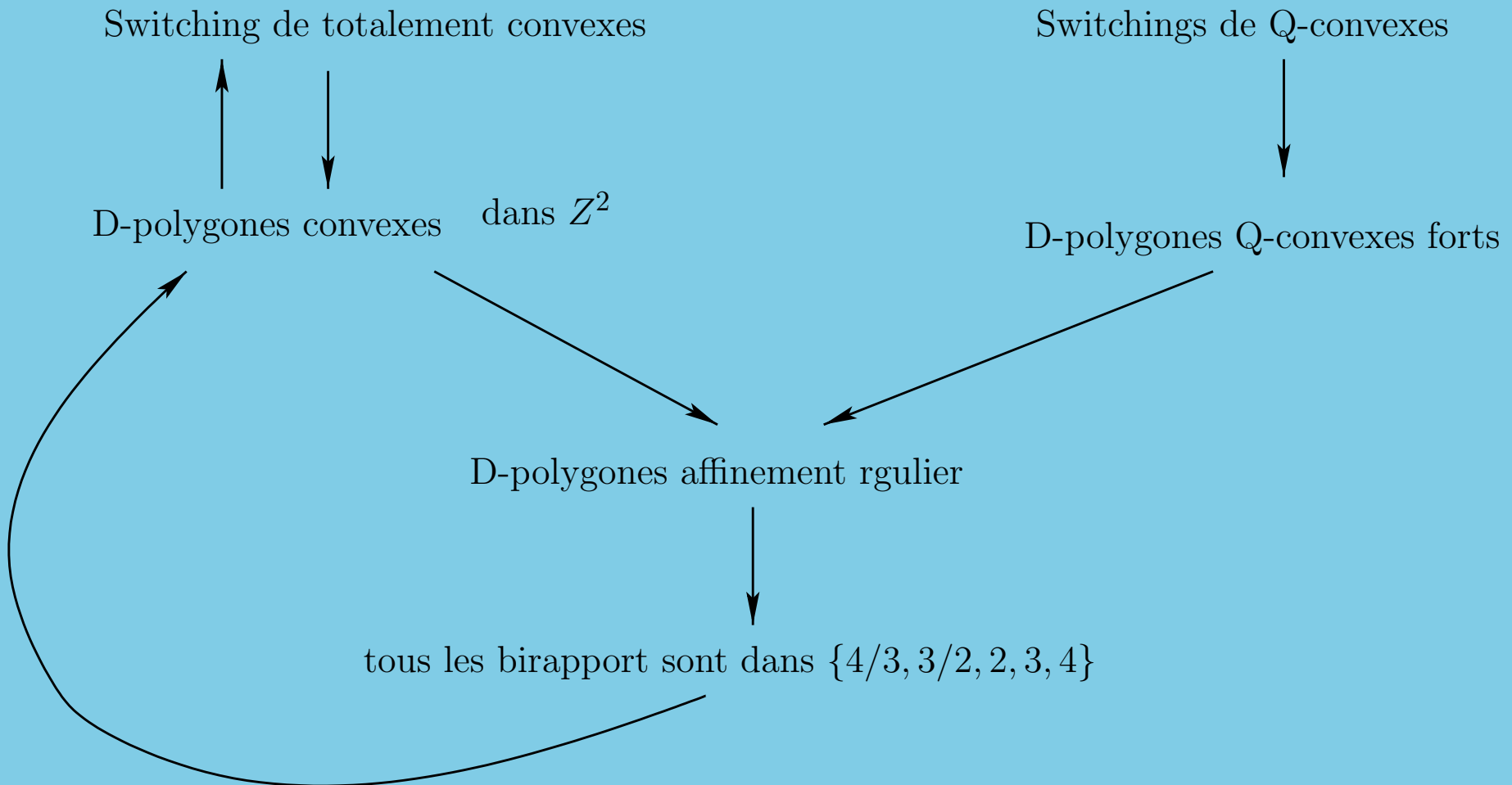


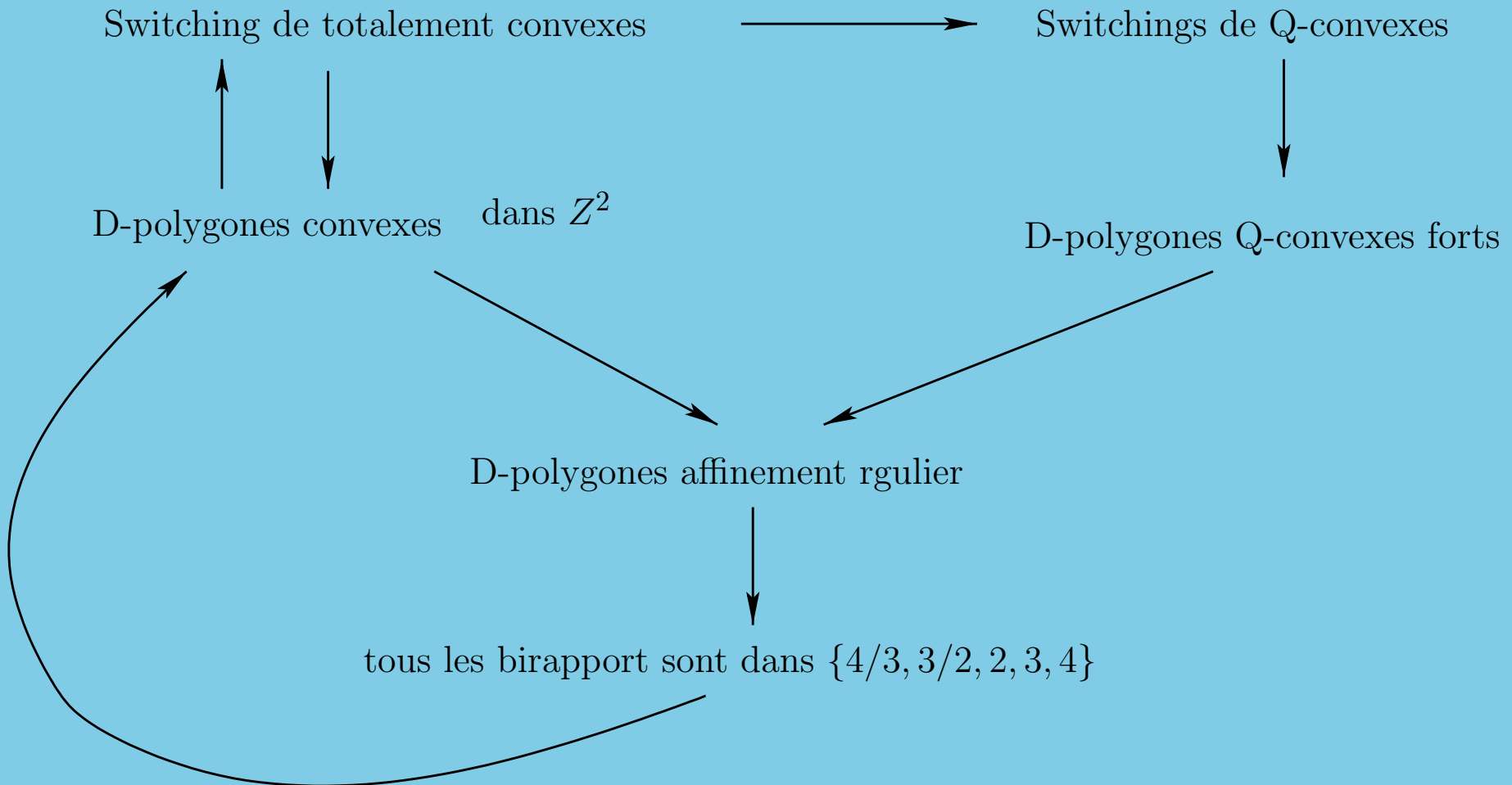
D-polygones affinement régulier



tous les birapport sont dans $\{4/3, 3/2, 2, 3, 4\}$







Unicité de la reconstruction des Q-convexes

Théorème. \mathcal{D} caractérise la classe des Q -convexes selon \mathcal{D} si et seulement si \mathcal{D} caractérise la classe des totalement convexes.

Classes \ Directions	$ \mathcal{D} \leq 3$ ou tous les birapports dans $\{\frac{4}{3}, \frac{3}{2}, 2, 3, 4\}$	$ \mathcal{D} \geq 4$ avec un birapport $\notin \{\frac{4}{3}, \frac{3}{2}, 2, 3, 4\}$
quelconque	NON [BDLNP]	
H-convexe 4-connexe	NON [BDLNP]	
HV-convexe	NON [BDLNP]	
Q-convexes selon \mathcal{D}	NON [BDLNP]	OUI
totalement convexes		OUI [GG97]

\mathcal{F}	\mathcal{D}	$\{x,y\}$	$ \mathcal{D} = 2$	$ \mathcal{D} \geq 3$	$ \mathcal{D} \geq 7$ ou birapport $\notin \{\frac{4}{3}, \frac{3}{2}, 2, 3, 4\}$
quelconque		$O(n^2)$		NP-comp	
HV-convexe	NP-comp		?	?	?
4-connexe	NP-comp		?	?	?
HV-convexe 4-connexe	$O(n^4)$?	?	?
Q-convexe			?		
tot. convexe	?	?	?	?	?

\mathcal{F}	\mathcal{D}	$\{x,y\}$	$ \mathcal{D} = 2$	$ \mathcal{D} \geq 3$	$ \mathcal{D} \geq 7$ ou birapport $\notin \{\frac{4}{3}, \frac{3}{2}, 2, 3, 4\}$
quelconque		$O(n^2)$		NP-comp	
HV-convexe	NP-comp		?	?	?
4-connexe	NP-comp		?	?	?
HV-convexe 4-connexe	$O(n^4)$?	?	?
Q-convexe			$O(n^5)$		
tot. convexe	?	?	?	?	?

\mathcal{F}	\mathcal{D}	$\{x,y\}$	$ \mathcal{D} = 2$	$ \mathcal{D} \geq 3$	$ \mathcal{D} \geq 7$ ou birapport $\notin \{\frac{4}{3}, \frac{3}{2}, 2, 3, 4\}$
quelconque		$O(n^2)$		NP-comp	
HV-convexe	NP-comp		?	?	?
4-connexe	NP-comp		?	?	?
HV-convexe 4-connexe	$O(n^4)$?	?	?
Q-convexe			$O(n^5)$		
tot. convexe	?	?	?	?	

\mathcal{F}	\mathcal{D}	$\{x,y\}$	$ \mathcal{D} = 2$	$ \mathcal{D} \geq 3$	$ \mathcal{D} \geq 7$ ou birapport \notin $\{\frac{4}{3}, \frac{3}{2}, 2, 3, 4\}$
quelconque		$O(n^2)$		NP-comp	
HV-convexe	NP-comp		?	?	?
4-connexe	NP-comp		?	?	?
HV-convexe 4-connexe	$O(n^4)$?	?	?
Q-convexe			$O(n^5)$		
tot. convexe	?	?	?	?	$O(n^5)$

Conclusion et perspectives

- Découverte d'une notion très adaptée à la tomographie discrète.

Conclusion et perspectives

- Découverte d'une notion très adaptée à la tomographie discrète.
- Est-ce une notion utile dans la pratique ?

Conclusion et perspectives

- Découverte d'une notion très adaptée à la tomographie discrète.
- Est-ce une notion utile dans la pratique?
 - Angiographie.
 - Microscopie electronique

Conclusion et perspectives

- Découverte d'une notion très adaptée à la tomographie discrète.
- Est-ce une notion utile dans la pratique?
 - Angiographie.
 - Microscopie electronique
 - La Q-convexité dans d'autre domaines? (Combinatoire).

Références

- [BDLNP] E. Barcucci, A. Del Lungo, M. Nivat, et R. Pinzani. X-rays characterizing some classes of discrete sets. preprint.
- [BDLNP96] E. Barcucci, A. Del Lungo, M. Nivat, et R. Pinzani. Reconstructing convex polyominoes from horizontal and vertical projections. *Theor. Comp. Sci.*, 155(2):321–347, 1996.
- [DV84] M. Delest et G. Viennot. Algebraic languages and polyomino enumeration. *j-THEOR-COMP-SCI*, 34:168–206, 1984.
- [Gar95] R. J. Gardner. *Geometric Tomography*, volume 58 de *Encyclopedia of Mathematics and its Applications*. Cambridge University Press, 1995.
- [GG97] R. J. Gardner et P. Gritzmann. Discrete tomography: Determination of finite sets by X-rays. *Trans. Am. Math. Soc.*, 349(6):2271–2295, 1997.
- [GGP99] R. J. Gardner, P. Gritzmann, et D. Prangenberg. On the computational complexity of reconstructing lattice sets from their x-rays. *Disc. Math.*, 202:45–71, 1999.
- [Ham63] P. C. Hammer. Unsolved problems. Dans *Proc. Symp. Pure Math.*, vol 7: Convexity, p. 498–499. Amer. Math. Soc., 1963.
- [KKV89] D. Kölzow, A. Kuba, et A. Volčič. An algorithm for reconstructing convex bodies from their projections. *Disc. and Comp. Geom.*, 4:205–237, 1989.
- [Rys63] H. J. Ryser. *Combinatorial Mathematics*. Mathematical Association of America, 1963.
- [Vol87] A. Volčič. Tomography of convex bodies and inscribed polygons. *Ricerche Mat.*, 36:185–192, 1987.
- [Woe96] G. H. Woeginger. The reconstruction of polyominoes from horizontal and vertical projections. Technical report SFB-65, TU Graz, Graz, 1996.